

استفاده از ترکیب شیمیایی کانی‌ها در تشخیص تحولات تکتونومتامورفیکی مجموعه‌های دگرگونی گل‌گهر و روتشون (جنوب بافت، استان کرمان)

حسین فاتحی*، حمید احمدی پور

گروه زمین‌شناسی دانشگاه شهید بهشتی کرمان، ایران

(دریافت مقاله: ۹۴/۱۲/۷، نسخه نهایی: ۹۵/۵/۱۰)

چکیده: مجموعه‌های دگرگونی گل‌گهر و روتشون در جنوب شرق منطقه‌ی دگرگون سندج - سیرجان شامل تنایی از سنگ‌های رسوبی، سنگ‌های آذرین بازی و آهک‌های ناخالص دگرگون شده هستند و تحت تاثیر حادث دگرگونی ناحیه‌ای و فازهای دگرشکلی مختلفی قرار گرفته‌اند. در اولین حادثه‌ی دگرگونی، به همراه اولین فاز دگرشکلی، کانی‌های موسکویت، بیوتیت و گارنت ایجاد و با جهت‌یابی ترجیحی، برگوارگی S_1 را به موازات لایه‌بندی اولیه ساختند و دوم دگرگونی، با مرحله‌ی دوم دگرشکلی، هم زمان بوده و ضمن رشد دوباره‌ی پورفیروبلاست‌های قبلی در هر دو مجموعه، این کانی‌ها را به موازات شیستوزیتی دوم مرتبت کرده‌اند. حادثه دگرگونی سوم نیز به همراه سومین فاز دگرشکلی، ریز بلورهای موسکویت را در راستای منطقه‌های برشی ایجاد کرده‌اند. دما و فشار رویداد دگرگونی اول به ترتیب $440 - 460$ درجه‌ی سانتی گراد و $3.5 - 4.5$ کیلوبار است، ولی حادثه‌ی دگرگونی دوم (اوج دگرگونی)، دمای $570 - 600$ درجه‌ی سانتی گراد و فشار $7 - 8$ کیلوبار را نشان می‌دهد که منطبق بر فاز کوه‌زایی سیمیرین پیشین قرار گرفته‌اند.

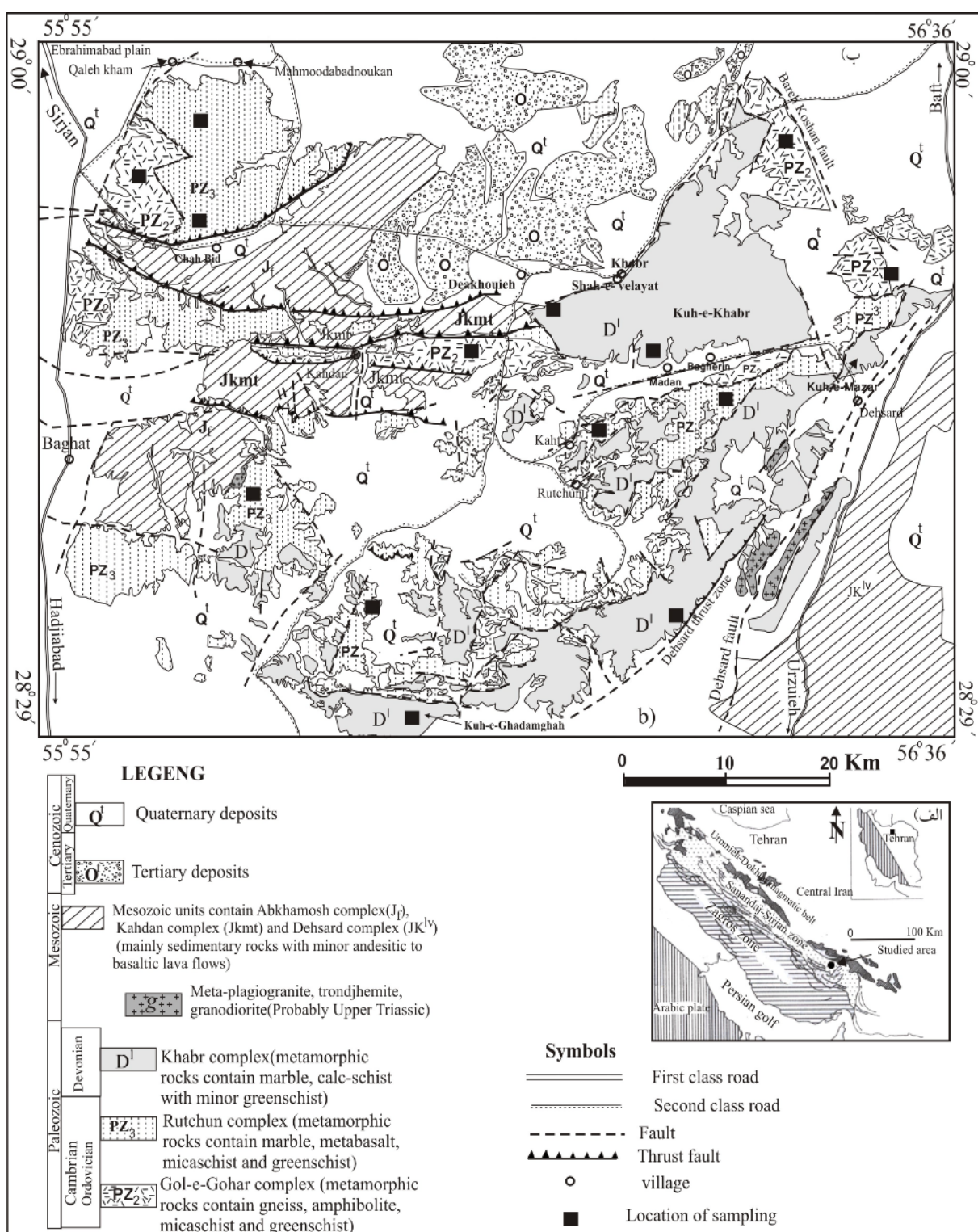
واژه‌های کلیدی: بافت، فازهای دگرشکلی، مجموعه‌های دگرگونی گل‌گهر و روتشون؛ زون دگرگونی سندج-سیرجان.

ناشی از وزن طبقات فوقانی) قرار گرفته و در پی آن در طی فاز سیمیرین پیشین دگرگونی اصلی رخ داده است. همچنین [۳]، نیز به بررسی شکل‌گیری ساختاری و زمین‌ساختی سنگ‌های پالئوزوئیک کمربند سندج - سیرجان در منطقه‌ی خبر پرداخته است. نامبرده دگرگونی نهشته‌های پالئوزوئیک را به سیمیرین آغازی می‌داند که تأثیر رژیم زمین‌ساختی کششی در سیمیرین میانی و عملکرد کوه‌زایی لارامید به عنوان شروع رژیم فشارشی در این منطقه دیده می‌شود. از آنجایی که سنگ‌های مورد نظر حادث دگرگونی و فازهای دگرشکلی مختلفی را پشت سر گذاشته‌اند، طبیعی است که رد پای این شکل‌گیری‌ها باقیستی در ترکیب شیمیایی کانی‌های آنها و بافت‌های باقیمانده و نیز در نسل‌های مختلف کانی‌ها بر جای مانده باشد و زمانی می‌توان به درستی به ماهیت فرایندهای رخ داده در این منطقه و شکل‌گیری‌های آن پی برد که شرایط دمایی و فشاری را در

مقدمه

منطقه‌ی مورد بررسی در جنوب‌شرق منطقه‌ی برشی - دگرگونی سندج-سیرجان، استان کرمان و در جنوب غرب شهرستان بافت و جنوب و غرب روستای خبر قرار دارد. این منطقه شامل همیافته‌های دگرگونی گل‌گهر، روتشون و خبر است و بیشتر از سنگ‌های پلیتی، مافیکی، و کربناتی دگرگون شده با راستای شرقی - غربی تشکیل شده است (شکل ۱) [۲،۱]. از جمله بررسی‌های انجام شده در بخش جنوبی کمربند سندج-سیرجان می‌توان به بررسی‌های [۱]، اشاره کرد. این پژوهش‌نده در گزارش کلی خود سنگ‌های دگرگون منطقه‌ی مورد بررسی را اجزای یک محیط رسوبی دانسته که در دوران پالئوزوئیک زیرین تا اوایل میازوئیک تشکیل شده‌اند. بطوریکه این محیط‌ها، هم زمان نیز دستخوش فعالیت‌های ماقمای نیز بوده‌اند، و سپس تحت تأثیر یک دگرگونی تدفینی (دگرگونی

*نویسنده مسئول، تلفن: ۰۹۱۳۲۹۰۸۶۰۲، نامبر: ۰۳۴۳۳۲۵۷۴۳۵، پست الکترونیکی: hoseinfatehi61@gmail.com



شکل ۱ الف: نقشه زمین شناسی ایران و موقعیت منطقه مورد بررسی روی آن [۲]، ب: نقشه زمین شناسی ساده شده‌ای از منطقه، نقل از [۱] با تغییرات.

این گونه بررسی‌ها، با هدف تعیین شرایط اوج دگرگونی، با استفاده از ترکیب شیمیایی کانی‌ها، تا کنون روی مجموعه‌های پاد شده صورت نگرفته است. در این نوشтар سعی شده است تا

زمان تشکیل سنگهای مورد نظر محاسبه و آنها را به حوادث دگرگونی و فازهای دگرشکلی نسبت داد.

دگرگون شده و همبافت دگرگونی روتشون بیشتر شامل تناوبی از سنگ‌های آهکی- دلومیتی و پلیتی دگرگون شده، هستند. همبافت دگرگون خبر از آهک‌های نازک لایه همراه با میان لایه‌هایی از سنگ‌های رسوبی ریزدانه دگرگون شده، تشکیل شده است. سنگ‌های پلیتی و کربناتی دگرگون شده در منطقه عبارتند از اسلیت، فیلیت، میکا شیست و مرمر، در حالی که سنگ‌های مافیک منطقه، بیشتر از شبه‌بازالتی تشکیل شده‌اند.

جدول ۱ ترکیب نماینده از تجزیه شیمیایی ریزپردازشی کانی‌های موجود در سنگ‌های رسی- نیمه رسی دگرگون شده منطقه. فرمول ساختاری کانی‌های موسکوویت و بیویتیت بر اساس ۲۲ اتم اکسیژن و کانی گارنت بر اساس ۱۲ اتم اکسیژن محاسبه شده‌اند. علائم اختصاری کانی‌ها از [۶] اقتباس شده است.

Sample	GS233				GS260				RS228			
	Bt ₁	Bt ₁	Bt ₂	Bt ₁	Bt ₂	Bt ₂	Bt ₂					
Mineral												
SiO ₂	۳۵٪۸	۳۶.۰۷	۳۶.۰۰	۳۴٪۴۲	۳۷.۱۸	۳۶.۷۰	۳۶.۹۹	۳۷.۱۷	۳۶.۷۳	۳۸.۷۸	۳۷.۹۰	۳۸.۷۳
TiO ₂	۱.۶۲	۱.۸۸	۱.۷۵	۱.۵۹	۲.۹	۲.۰۲	۱.۸۱	۱.۷۹	۱.۶۹	۱.۶۸	۱.۵۲	۱.۵۳
Al ₂ O ₃	۱۷٪۶	۱۷.۵۲	۱۷.۵۶	۱۷.۱۸	۱۸.۹۷	۱۹.۰۸	۱۹.۱۲	۱۹.۲۲	۱۹.۳۶	۱۸.۷۹	۱۸.۴۰	۱۸.۵۹
Cr ₂ O ₃	۰.۱۴	۰.۰۸	۰.۰۰	۰.۰۵	۰.۰۰	۰.۰۰	۰.۰۹	۰.۰۸	۰.۰۵	۰.۰۸	۰.۰۷	۰.۱۱
FeO	۲۲.۵۵	۲۱.۷۱	۲۱.۸۶	۲۱.۶۰	۱۵.۴۵	۱۶.۵۴	۱۳.۷۴	۱۵.۵۲	۱۴.۹۵	۱۷.۵۶	۱۶.۹۹	۱۶.۹۱
MnO	۰.۳	۰.۹	۰.۱	۰.۱	۰.۳	۰.۴	۰.۷	۰.۴	۰.۳	۰.۴	۰.۲	۰.۱۲
MgO	۸.۴۶	۸.۶۰	۸.۷۷	۸.۹۸	۱۲.۲۱	۱۱.۷۵	۱۲.۰۳	۱۲.۴۰	۱۲.۰۰	۱۲.۵۶	۱۲.۱۴	۱۲.۵۸
CaO	۰.۰۵	۰.۱۳	۰.۱۶	۰.۳۱	۰.۰۱	۰.۰۷	۰.۰۶	۰.۰۲	۰.۰۵	۰.۰۴	۰.۱۷	۰.۱۸
Na ₂ O	۰.۱۸	۰.۰۸	۰.۱۷	۰.۲۴	۰.۱۵	۰.۱۷	۰.۱۳	۰.۱۸	۰.۱۳	۰.۱۵	۰.۱۴	۰.۱۱
K ₂ O	۹.۱۰	۸.۰۴	۷.۹۶	۶.۲۹	۹.۰۶	۸.۹۷	۹.۲۵	۹.۳۷	۹.۱۵	۷.۷۵	۷.۵۳	۷.۹۱
V ₂ O _۳	۰.۰۰	۰.۰۹	۰.۰۷	۰.۰۷	۰.۰۱	۰.۱۷	۰.۰۳	۰.۱۳	۰.۰۸	۰.۱۱	۰.۰۴	۰.۱۴
F	۰.۰۰	۰.۰۸	۰.۰۲	۰.۰۴	۰.۲۵	۰.۳۹	۰.۰۸	۰.۱۹	۰.۰۸	۰.۳۲	۰.۴۲	۰.۳۴
Cl	۰.۲۰	۰.۲۲	۰.۲۲	۰.۱۹	۰.۲۳	۰.۱۸	۰.۳۰	۰.۱۷	۰.۷۴	۰.۲۱	۰.۱۵	۰.۱۸
Total	۹۵٪۸	۹۴.۶۱	۹۴.۵۸	۹۱.۰۴	۹۶.۲۴	۹۶.۰۸	۹۳.۷۲	۹۶.۱۷	۹۴.۵۳	۹۸.۰۸	۹۵.۵۰	۹۷.۴۲
Si	۵.۴۳	۵.۵۱	۵.۵۰	۵.۴۷	۵.۴۱	۵.۴۰	۵.۴۹	۵.۴۲	۵.۴۳	۵.۵۰	۵.۵۳	۵.۵۲
Ti	۰.۱۹	۰.۲۲	۰.۲۰	۰.۱۹	۰.۲۳	۰.۲۲	۰.۲۰	۰.۲۰	۰.۱۹	۰.۱۸	۰.۱۷	۰.۱۶
Al ^{IV}	۲.۵۷	۲.۴۹	۲.۵۰	۲.۵۳	۲.۵۹	۲.۶۰	۲.۵۱	۲.۵۸	۲.۵۷	۲.۵۰	۲.۴۷	۲.۴۸
Al ^{VI}	.۶۴	.۶۶	.۶۷	.۶۹	.۶۷	.۷۱	.۸۳	.۷۲	.۸۱	.۶۴	.۶۹	.۶۵
Cr	۰.۰۰	۰.۰۱	۰.۰۰	۰.۰۱	۰.۰۰	۰.۰۱	۰.۰۱	۰.۰۱	۰.۰۱	۰.۰۱	۰.۰۱	۰.۰۱
Fe	۲.۸۹	۲.۷۷	۲.۷۹	۲.۸۷	۱.۸۸	۲.۰۴	۱.۷۰	۱.۸۹	۱.۸۵	۲.۰۸	۲.۰۷	۲.۰۲
Mn	۰.۰۰	۰.۰۱	۰.۰۰	۰.۰۱	۰.۰۰	۰.۰۱	۰.۰۱	۰.۰۰	۰.۰۰	۰.۰۱	۰.۰۰	۰.۰۱
Mg	۱.۹۳	۱.۹۶	۱.۹۹	۲.۱۳	۲.۷۶	۲.۵۸	۲.۶۶	۲.۸۹	۲.۶۵	۲.۶۵	۲.۶۴	۲.۶۷
Ca	۰.۰۱	۰.۰۲	۰.۰۲	۰.۰۵	۰.۰۰	۰.۰۱	۰.۰۱	۰.۰۰	۰.۰۱	۰.۰۱	۰.۰۳	۰.۰۳
Na	۰.۰۵	۰.۰۳	۰.۰۵	۰.۰۷	۰.۰۴	۰.۰۵	۰.۰۴	۰.۰۵	۰.۰۴	۰.۰۴	۰.۰۴	۰.۰۳
K	۱.۷۸	۱.۵۷	۱.۵۵	۱.۲۷	۱.۶۸	۱.۶۸	۱.۷۵	۱.۷۲	۱.۷۳	۱.۴۰	۱.۴۰	۱.۴۴
F	۰.۰۰	۰.۰۱	۰.۰۱	۰.۰۲	۰.۱۶	۰.۱۸	۰.۰۴	۰.۰۹	۰.۰۴	۰.۱۴	۰.۱۹	۰.۱۵
Cl	۰.۰۵	۰.۰۶	۰.۰۶	۰.۰۵	۰.۰۶	۰.۰۴	۰.۰۷	۰.۰۴	۰.۰۶	۰.۰۵	۰.۰۴	۰.۰۴
TOTAL	۱۵.۵۶	۱۵.۳۴	۱۵.۳۴	۱۵.۳۷	۱۵.۴۸	۱۵.۵۲	۱۵.۳۳	۱۵.۴۲	۱۵.۳۷	۱۵.۲۱	۱۵.۲۸	۱۵.۲۳

ضمن بررسی ترکیب شیمیایی کانی‌های موجود در سنگ‌های منطقه، به شرایط و چگونگی شکل‌گیری‌های دگردیسی و ارتباط آن‌ها با مراحل دگرگونی، دگرگون و نسل‌های مختلف کانی‌ای موجود در سنگ‌های دگرگونی منطقه نیز پرداخته شود (جدول ۱).

روش بررسی

پس از بررسی‌های صحرابی، ۱۵۰ مقطع نازک، تهیه و بررسی- های سنگ‌شناسی، روابط بافت‌سنگی و شناسایی فازهای دگرگونی و دگرشکلی روی آن‌ها انجام گرفت. همچنین تعداد ۳۰ مقطع نازک- صیقلی از سنگ‌های مورد بررسی تهیه شدند که از میان آنها ۲ مقطع از سنگ‌های رسوبی دگرگون شده همبافت گل‌گهر و ۲ مقطع نیز از سنگ‌های رسوبی دگرگون شده‌ی همبافت روتشون که کمترین دگرسانی را داشتند، به وسیله یک ریزپردازندۀ الکترونی JEOL- JX 8600 M با شرایط ولتاژ ۱۵KV و جریان الکتریکی ۲۰nA در دانشگاه یاماگاتای زاپن مورد بررسی شیمیایی قرار گرفتند. زمان تجزیه هر نقطه بسته به نوع کانی و عنصر مورد نیاز برای تجزیه از ۳۰ ثانیه تا ۵ دقیقه متغیر بود.

تشریح واحدهای سنگی منطقه‌ی در صحراء

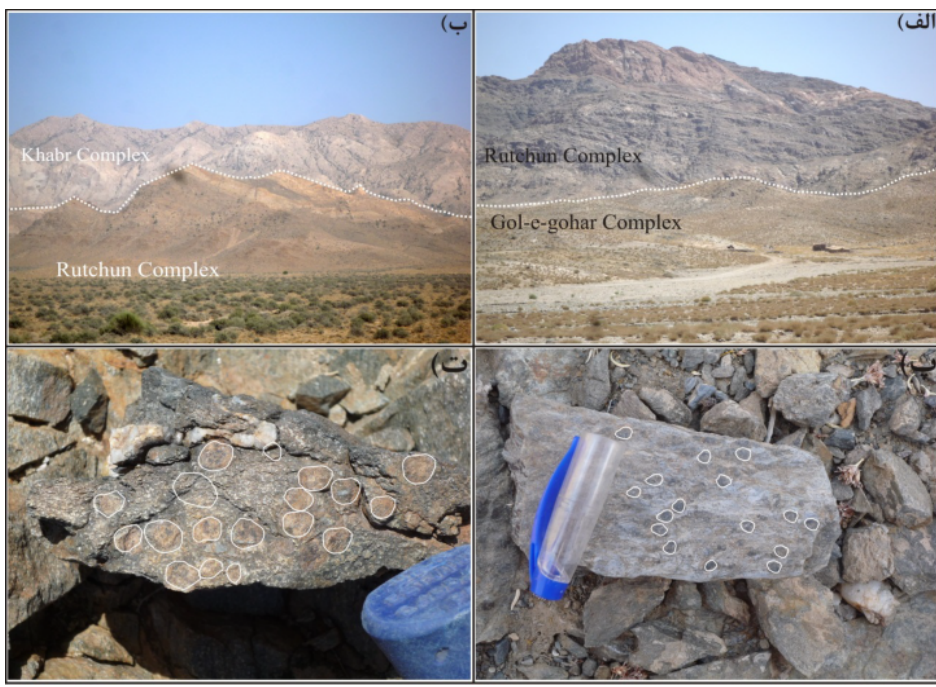
سیمای سنگی منطقه‌ی مورد بررسی را تناوبی از واحدهای رسوبی، بازی و آهکی دگرگون شده تشکیل می‌دهند که در قالب سه همبافت دگرگون مهم بروند دارند. همبافت دگرگونی گل‌گهر با سن کامبرین و تن رنگی تیره، نسبت به دیگر همبافتها توپوگرافی پست‌تری دارد. روی این واحدهای همبافت روتشون با تن رنگی غالباً سرخ قهوه‌ای و سن اردویسین قرار دارد (شکل ۲ (الف)). همبافت دگرگون خبر با تن رنگی غالباً خاکستری روشن تا سفید و سن دونین، روی دو همبافت یاد شده قبلی، قرار گرفته و بیشتر بخش‌های بلند را به خود اختصاص داده است (شکل ۲ (ب)). در این منطقه همچنین یک رشته از واحدهای مربوط به مزوژوئیک شامل همبافتهای آب خاموش (JL)، کاهدان (JK) و ده سرد (JKmt) (JK^{IV}) رخمنون دارند [۱]. رسوب‌های سنوزوئیک نیز شامل کنگلومرا، ماسه سنگ و رسوب‌های آبرفتی هستند و همراه با واحدهای سنگی مزوژوئیک در بخش شمالی، شمال غربی، غربی و جنوبی منطقه‌ی مورد بررسی بروند دارند. واحدهای پالکوزوئیک، مزوژوئیک و سنوزوئیک، بیشتر به صورت دگرگشیبی زاویه‌دار روی یکدیگر قرار گرفته‌اند. همبافت دگرگونی گل‌گهر بیشتر شامل تناوبی از سنگ‌های پلیتی، مافیکی، گنیسی و آهکی

ادامه جدول ۱

Sample	GS233				RS228				RS247			
Mineral	Ms	Ms										
Si ₂ O	۴۶.۵۱	۵۳.۶۴	۴۷.۶۱	۴۷.۰۱	۴۸.۷۶	۴۸.۳۲	۵۰.۷۱	۴۹.۱۲	۴۷.۳۱	۴۸.۰۵	۴۸.۱۰	
TiO ₂	۰.۵۵	۰.۲۶	۰.۲۴	۰.۸۶	۰.۴۳	۰.۳۳	۰.۴۱	۰.۳۵	۰.۴۸	۰.۴۱	۰.۴۲	
Al ₂ O ₃	۲۳.۵۱	۲۷.۸۴	۲۲.۳۹	۳۳.۴۸	۳۶.۵۶	۲۶.۹۳	۳۶.۷۵	۳۰.۴۱	۳۰.۴۴	۳۲.۳۶	۲۲.۰۴	
Cr ₂ O ₃	۰.۰۴	۰.۰۰	۰.۰۰	۰.۰۱	۰.۰۰	۰.۰۶	۰.۰۶	۰.۰۱	۰.۰۵	۰.۰۰	۰.۰۶	
FeO _t	۱.۹۸	۲.۵۳	۱.۸۲	۱.۷۲	۱.۰۳	۰.۹۴	۱.۰۴	۲.۲۲	۱.۷۱	۱.۷۹	۱.۸۳	
MnO	۰.۰۰	۰.۰۰	۰.۰۲	۰.۰۲	۰.۰۰	۰.۰۰	۰.۰۱	۰.۰۰	۰.۰۰	۰.۰۰	۰.۰۰	
MgO	۱.۰۵	۱.۲۸	۱.۱۹	۱.۱۲	۰.۷۰	۰.۵۷	۰.۸۶	۲.۲۴	۱.۲۰	۱.۴۶	۱.۷۳	
CaO	۰.۰۳	۰.۰۴	۰.۰۰	۰.۰۰	۰.۰۱	۰.۰۱	۰.۰۳	۰.۰۲	۰.۰۲	۰.۰۲	۰.۰۲	
Na ₂ O	۰.۰۶	۰.۰۵	۰.۰۴	۰.۰۵	۰.۰۸	۰.۰۸	۰.۰۳	۰.۰۱	۱.۷۷	۰.۶۶	۰.۶۷	
K ₂ O	۹.۹۱	۸.۸۹	۹.۶۹	۹.۷۱	۶.۷۸	۶.۳۳	۷.۲۰	۹.۸۴	۹.۰۰	۹.۶۶	۹.۷۸	
Cr ₂ O ₃	۰.۰۴	۰.۰۰	۰.۰۰	۰.۰۱	۰.۰۰	۰.۰۶	۰.۰۶	۰.۰۱	۰.۰۵	۰.۰۵	۰.۰۶	
V ₂ O ₃	۰.۰۳	۰.۰۰	۰.۰۲	۰.۰۸	۰.۰۰	۰.۱۶	۰.۰۵	۰.۱۷	۰.۰۰	۰.۱۱	۰.۰۰	
F	۰.۱۸	۰.۰۰	۰.۱۱	۰.۰۰	۰.۱۸	۰.۳۸	۰.۲۹	۰.۱۸	۰.۱۸	۰.۲۹	۰.۰۰	
Cl	۰.۰۰	۰.۱۲	۰.۰۲	۰.۰۰	۰.۰۱	۰.۰۱	۰.۰۰	۰.۰۱	۰.۰۱	۰.۰۰		
Total	۹۴.۴۱	۹۵.۱۰	۹۳.۶۶	۹۴.۶۸	۹۵.۰۴	۹۴.۹۸	۹۸.۱۰	۹۵.۲۸	۹۴.۶۹	۹۴.۹۱	۹۴.۷۰	
Si	۶.۲۷	۷.۰۶	۶.۴۳	۶.۲۹	۶.۳۲	۶.۲۹	۶.۳۹	۶.۰۶	۶.۳۲	۶.۴۳	۶.۴۳	
Ti	۰.۰۶	۰.۰۳	۰.۰۲	۰.۰۹	۰.۰۴	۰.۰۳	۰.۰۴	۰.۰۳	۰.۰۵	۰.۰۴	۰.۰۴	
Al ^{IV}	۱.۷۳	۰.۹۴	۱.۵۷	۱.۷۱	۱.۶۸	۱.۷۱	۱.۶۱	۱.۴۴	۱.۶۸	۱.۵۷	۱.۵۷	
Al ^{VI}	۳.۵۹	۲.۳۸	۳.۵۹	۳.۵۷	۲.۹۱	۳.۹۵	۳.۸۵	۳.۳۵	۳.۵۸	۳.۵۳	۳.۴۸	
Cr	۰.۰۰	۰.۰۰	۰.۰۰	۰.۰۰	۰.۰۰	۰.۰۱	۰.۰۱	۰.۰۰	۰.۰۱	۰.۰۱	۰.۰۱	
Fe	۰.۲۲	۰.۲۸	۰.۲۱	۰.۱۹	۰.۱۱	۰.۱۰	۰.۱۱	۰.۲۵	۰.۱۹	۰.۲۰	۰.۲۰	
Mn	۰.۰۰	۰.۰۰	۰.۰۰	۰.۰۰	۰.۰۰	۰.۰۰	۰.۰۰	۰.۰۰	۰.۰۰	۰.۰۰	۰.۰۰	
Mg	۰.۲۱	۰.۲۵	۰.۲۴	۰.۲۲	۰.۱۴	۰.۱۱	۰.۱۶	۰.۴۵	۰.۲۴	۰.۲۹	۰.۳۴	
Ca	۰.۰۰	۰.۰۱	۰.۰۰	۰.۰۰	۰.۰۰	۰.۰۰	۰.۰۰	۰.۰۰	۰.۰۰	۰.۰۰	۰.۰۰	
Na	۰.۱۸	۰.۱۳	۰.۱۴	۰.۱۷	۰.۱۴	۰.۲۲	۰.۱۵	۰.۱۸	۰.۳۳	۰.۱۷	۰.۱۷	
K	۰.۰۷	۱.۴۹	۱.۶۷	۱.۶۶	۱.۱۲	۱.۰۵	۱.۱۶	۱.۶۸	۱.۰۳	۱.۶۵	۱.۶۷	
F	۰.۰۷	۰.۰۰	۰.۰۵	۰.۰۰	۰.۰۷	۰.۱۶	۰.۱۲	۰.۰۸	۰.۰۷	۰.۱۲	۰.۰۰	
Cl	۰.۰۰	۰.۰۳	۰.۰۰	۰.۰۰	۰.۰۰	۰.۰۰	۰.۰۰	۰.۰۰	۰.۰۰	۰.۰۰	۰.۰۰	
TOTAL	۱۴.۰۱	۱۳.۵۹	۱۳.۹۳	۱۳.۹۰	۱۳.۵۵	۱۳.۶۳	۱۳.۶۰	۱۴.۰۲	۱۴.۰۰	۱۴.۰۱	۱۳.۹۲	

ادامه جدول ۱

Sample	GS233					RS228					RS247		
Mineral	Grt ₁	Grt ₂	Grt ₁	Grt ₁	Grt ₂	Grt ₁	Grt ₂	Grt ₁	Grt ₂	Grt ₁	Grt ₁	Grt ₁	Grt ₂
Point	۱-a	۱-c	۸-a	۸-b	۸-c	A-1	A-2	H-1	H-2	A-1	A-2	A-3	
Si ₂ O	۳۸.۷۱	۳۸.۵۲	۳۸.۴۴	۳۸.۲۶	۳۷.۷۵	۳۸.۳۵	۳۸.۴۴	۳۸.۶۳	۳۸.۵۲	۳۷.۹۰	۳۷.۹۰	۳۸.۲۱	
TiO ₂	۰.۰۸	۰.۰۴	۰.۱۲	۰.۰۵	۰.۱۱	۰.۱۰	۰.۰۶	۰.۰۵	۰.۰۵	۰.۱۳	۰.۱۱		
Al ₂ O ₃	۲۱.۶۶	۲۱.۵۷	۲۱.۷۹	۲۱.۵۶	۲۱.۱۰	۲۱.۵۶	۲۱.۷۵	۲۱.۷۳	۲۱.۵۸	۲۱.۲۰	۲۱.۲۸	۲۱.۵۴	
Cr ₂ O ₃	۰.۰۴	۰.۰۰	۰.۰۴	۰.۰۲	۰.۰۸	۰.۰۰	۰.۰۴	۰.۰۲	۰.۰۰	۰.۰۱	۰.۰۶		
FeO _t	۲۱.۹۶	۲۱.۷۰	۲۹.۹۶	۳۰.۸۸	۳۰.۸۱	۲۶.۱۲	۳۰.۷۲	۲۶.۳۲	۳۲.۲۷	۲۹.۱۴	۲۸.۲۲	۲۹.۴۲	
MnO	۰.۸۵	۱.۶۲	۲.۰۲	۲.۳۳	۱.۸۳	۸.۸۴	۰.۴۰	۰.۹۵	۰.۸۷	۲.۹۲	۳.۹۵	۲.۷۸	
MgO	۲.۰۳	۱.۷۷	۱.۰۴	۱.۰۳	۱.۶۸	۲.۲۱	۳.۷۴	۱.۷۱	۳.۸۳	۱.۱۷	۱.۴۱		
CaO	۷.۰۲	۷.۱۳	۶.۹۳	۷.۰۱	۶.۱۰	۶.۱۸	۶.۰۸	۶.۰۹	۶.۰۱	۸.۳۴	۸.۴۸	۸.۶۱	
Na ₂ O	۰.۰۰	۰.۰۱	۰.۰۰	۰.۰۰	۰.۰۰	۰.۰۰	۰.۰۰	۰.۰۰	۰.۰۰	۰.۱۸	۰.۰۰	۰.۰۰	
K ₂ O	۰.۰۰	۰.۰۰	۰.۰۰	۰.۰۰	۰.۰۱	۰.۰۰	۰.۰۰	۰.۰۰	۰.۰۰	۰.۰۰	۰.۰۰	۰.۰۰	
V ₂ O ₃	۰.۰۰	۰.۰۹	۰.۰۰	۰.۰۰	۰.۰۰	۰.۰۰	۰.۰۰	۰.۰۰	۰.۰۰	۰.۰۰	۰.۰۰	۰.۰۰	
F	۰.۰۰	۰.۱۸	۰.۱۴	۰.۱۴	۰.۰۰	۰.۰۰	۰.۰۰	۰.۰۰	۰.۰۰	۰.۱۰	۰.۰۰	۰.۰۰	
Cl	۰.۰۱	۰.۰۰	۰.۰۰	۰.۰۰	۰.۰۰	۰.۰۰	۰.۰۰	۰.۰۰	۰.۰۰	۰.۰۰	۰.۰۰	۰.۰۰	
Total	۱۰.۲۸	۱۰.۲۶	۱۰.۱۵	۱۰.۱۸	۹.۵۵	۱۰.۱۴	۱۰.۱۳	۱۰.۲۸	۱۰.۱۳	۱۰.۱۱	۱۰.۲۱		
Si	۳.۰۱	۳.۰۲	۳.۰۴	۳.۰۲	۳.۰۵	۳.۰۳	۳.۰۱	۳.۰۲	۳.۰۲	۳.۰۱	۳.۰۰		
Ti	۰.۰۰	۰.۰۰	۰.۰۱	۰.۰۰	۰.۰۱	۰.۰۱	۰.۰۰	۰.۰۰	۰.۰۰	۰.۰۱	۰.۰۰		
Al	۱.۹۸	۱.۹۹	۲.۰۲	۲.۰۱	۲.۰۱	۲.۰۱	۲.۰۱	۲.۰۱	۲.۰۰	۱.۹۹	۱.۹۹		
Cr	۰.۰۰	۰.۰۰	۰.۰۰	۰.۰۰	۰.۰۰	۰.۰۰	۰.۰۰	۰.۰۰	۰.۰۰	۰.۰۰	۰.۰۰		
Fe ³⁺	۰.۰۰	۰.۰۰	۰.۰۰	۰.۰۰	۰.۰۰	۰.۰۰	۰.۰۰	۰.۰۰	۰.۰۰	۰.۰۰	۰.۰۰		
Fe ²⁺	۲.۰۸	۲.۰۸	۱.۹۸	۲.۰۴	۲.۰۸	۱.۷۲	۲.۰۱	۱.۷۲	۱.۹۸	۱.۹۴	۱.۹۷	۱.۹۳	
Mn	۰.۰۶	۰.۱۱	۰.۱۷	۰.۱۶	۰.۱۳	۰.۴۶	۰.۰۳	۰.۵۲	۰.۰۶	۰.۲۰	۰.۲۷	۰.۱۸	
Mg	۰.۲۴	۰.۲۱	۰.۱۹	۰.۱۸	۰.۲۰	۰.۲۶	۰.۴۴	۰.۲۰	۰.۴۵	۰.۱۵	۰.۱۴	۰.۱۶	
Ca	۰.۶۳	۰.۶۰	۰.۵۹	۰.۵۹	۰.۵۴	۰.۵۲	۰.۵۱	۰.۵۳	۰.۵۰	۰.۵۰	۰.۵۱	۰.۵۲	
Total	۱۴.۰۰	۱۴.۰۰	۱۴.۰۰	۱۴.۰۰	۱۴.۰۰	۱۴.۰۰	۱۴.۰۰	۱۴.۰۰	۱۴.۰۰	۱۴.۰۰	۱۴.۰۰	۱۴.۰۰	
Xalm	۰.۶۹	۰.۶۹	۰.۶۸	۰.۶۹	۰.۷۱	۰.۵۸	۰.۵۸	۰.۶۶	۰.۶۵	۰.۶۲	۰.۶۴		
Xpy	۰.۰۸	۰.۰۸	۰.۰۶	۰.۰۶	۰.۰۷	۰.۰۹	۰.۱۵	۰.۰۷	۰.۱۵	۰.۰۵	۰.۰۵	۰.۰۵	
Xgr	۰.۰۱	۰.۰۰	۰.۰۰	۰.۰۰	۰.۰۰	۰.۰۰	۰.۰۰	۰.۰۰	۰.۰۰	۰.۰۰	۰.۰۰	۰.۰۰	
Xspes	۰.۰۰	۰.۰۴	۰.۰۶	۰.۰۵	۰.۰۴	۰.۰۵	۰.۰۱	۰.۰۱	۰.۰۲	۰.۰۰	۰.۰۰	۰.۰۰	
Xfe	۰.۹۰	۰.۹۱	۰.۹۱	۰.۹۲	۰.۹۱	۰.۸۷	۰.۸۷	۰.۸۷	۰.۸۷	۰.۹۲	۰.۹۲	۰.۹۲	



شکل ۲ تصاویر صحرایی از واحدهای سنگی منطقه، الف: قرارگیری همبافت دگرگون روتشنون روی همبافت دگرگون گل گهر؛ ب: تصویر صحرایی از همبافت دگرگون خبر در بخش بالا که روی همبافت دگرگون روتشنون قرار گرفته است؛ پ: پورفیروبلاست‌های درشت گارنت در شیسته‌های روتشنون؛ ت: پورفیروبلاست‌های درشت گارنت در آمفیبولیت‌های همبافت گل گهر.

بوده و شیستوزیته در آنها کمتر گسترش یافته و آثار کانی‌هایی از سنگ مادر تا حدودی قابل تشخیص‌اند، ولی با پیشرفت درجه دگرگونی، سنگ‌ها درشت‌دانه‌تر شده (شکل ۲ ت) و شیستوزیته را به خوبی نشان می‌دهند.

بررسی‌های سنگ نگاری و فازهای دگرشکلی

راستای لایه‌بندی اولیه (S_0) در منطقه‌ی مورد بررسی بیشتر به صورت W N60E/40NW تا S70E/45NE است که روند کلی شرقی- غربی را برای لایه‌های آغازین منطقه‌ی مورد بررسی نشان می‌دهد. این روند با راستای کلی منطقه‌ی سندنج - سیرجان کمی متفاوت است و تاثیر خطواره عمان بر این بخش از پهنه‌ی سندنج - سیرجان را نشان می‌دهد [۴]. بررسی‌های صحرایی، چینه‌شناسی، ساختاری و سنگ‌شناسی نشان می‌دهند که سه فاز دگرگونی و چهار فاز دگرشکلی، سنگ‌های یاد شده را تحت تاثیر قرار داده‌اند.

اسلیت‌ها و فیلیت‌های منطقه ریزدانه بوده و لایه‌بندی اولیه (S_0) در آنها به خوبی دیده می‌شود. در این سنگ‌ها لایه‌بندی اولیه به صورت تناوبی از لایه‌های روشن غنی از کوارتز و فلدسپات و تیره‌ی غنی از کلریت، موسکویت و گرافیت خود را نشان می‌دهد. برگوارگی S_1 در این سنگ‌ها به وسیله کانی-

اسلیت‌های موجود در همبافت‌های دگرگون گل گهر و روتشنون با رنگ خاکستری تیره متمایل به سیاه به صورت لایه‌هایی با ضخامت متغیر (از ۲۰ سانتی متر تا بیش از ۸۰ متر) در تناوب، با دیگر واحدهای سنگی و در اکثر نقاط منطقه‌ی مورد بررسی، قابل مشاهده‌اند. در این سنگ‌ها، رخ اسلیتی به خوبی قابل مشاهده بوده و شکل‌های کینک باند و چین خورده‌گی در آنها دیده می‌شوند. فیلیت‌های منطقه درشت‌دانه ترنند، بریدگی واضح‌تری داشته و در سطح بریدگی، جلای برآقی نشان می‌دهند. در نمونه‌ی دستی این سنگ‌ها، کانی‌های ریز بیوتیت و موسکویت قابل مشاهده‌اند. همچنین ریزبلورهایی از گارنت تاول‌وار روی سطح صاف سنگ دیده می‌شوند. شیسته‌ها به صورت لایه‌هایی به رنگ خاکستری روشن تا سبز روشن، بیشتر در بخش‌های غربی منطقه بروزند دارند. این سنگ‌ها در نمونه‌ی دستی حاوی بافت‌های دگرگونه گارنت، بیوتیت و موسکویت هستند و به صورت انواع بیوتیت شیست، موسکویت شیست و بیوتیت گارنت شیست دیده می‌شوند. در بعضی نمونه‌ها اندازه پورفیروبلاست‌های گارنت به $1/5$ سانتی‌متر می‌رسد (شکل ۲ پ). سنگ‌های مافیک دگرگون شده با رنگ خاکستری تیره متمایل به سیاه و سبز روشن تا تیره قابل مشاهده‌اند. سنگ‌هایی که در پایین ترین درجات دگرگونی قرار دارند، ریزدانه

های گارنت که در سنگ‌های آذرین بازی دگرگون شده همبافت‌های گل گهر معمولاً دیده می‌شوند (شکل ۳ ت)، ولی در سنگ‌های مافیک همبافت روتشنون وجود ندارند. در هر دو همبافت یاد شده سنگ‌های مافیک که دستخوش‌ترین درجات دگرگونی شده‌اند، شیستوزیته ضعیفی داشته و در این نمونه‌ها، بلورهای اپیدوت و کلریت به جای کانی‌های فرومیزین قدیمی و کلریت، کلسیت و سریسیت به جای بلورهای فلدسپات متبلور شده‌اند [۵]. با افزایش درجه‌ی دگرگونی، بریدگی در این سنگ‌ها گسترش یافته و بلورهای هورنبلند، بیوتیت و فلدسپات به موازات بریدگی سنگ جهت‌گیری کرده‌اند و یک بافت نواری به صورت تناوبی از نوارهای تیره و روشن را در سنگ به وجود آورده‌اند (شکل ۳ ث).

سنگ‌های کوارتز- فلدسپاتی (ارتونگنیس‌ها) همبافت گل گهر دارای پاراژنر کانیایی ارتولکلاز (۲۵ درصد حجمی، بدون در نظر گرفتن بلورهای ارتولکلاز باقی مانده از سنگ مادر)، پلازیوکلاز (۴۰ درصد حجمی)، گارنت (۵ درصد حجمی)، کوارتز (۱۵ درصد حجمی)، بیوتیت (۱۵ درصد حجمی) هستند. بلورهای فلدسپات پتاسیم موجود در این سنگ‌ها دو گروه‌اند. گروه اول فلدسپات‌های درشت است که به احتمال زیاد به سنگ مادر وابسته بوده و در اثر دگرسانی، در حال تبدیل به ریز بلورهای موسکویت هستند و یا تحت تاثیر نیروهای زمین‌ساختی، به صورت شکل‌های عدسی مانند و دوکی درآمداند. گروه دیگر آنهایی هستند که ریز بلور بوده و در اثر واکنش‌های دگرگونی به وجود آمداند و به شکل‌های ارتوز پرتیتی و یا میکروکلین دیده می‌شوند. در گنیس‌ها، با افزایش درجه‌ی دگرگونی، اندازه پورفیروبلاست‌ها درشت‌تر شده و بافت گرانوبلاستیک را نشان می‌دهند (شکل ۳ ج). در بعضی از نمونه‌ها، درشت بلورهای فلدسپات پتاسیم به صورت چشم‌هایی در متن سنگ دیده می‌شوند که جهت‌دار بوده و در دو انتهای خود به بلورهای ریز تبلور دوباره یافته ختم می‌شوند و اطراف آنها را تیغه‌های موسکویت می‌پوشانند و منظره‌ای از بافت چشمی را نشان می‌دهند.

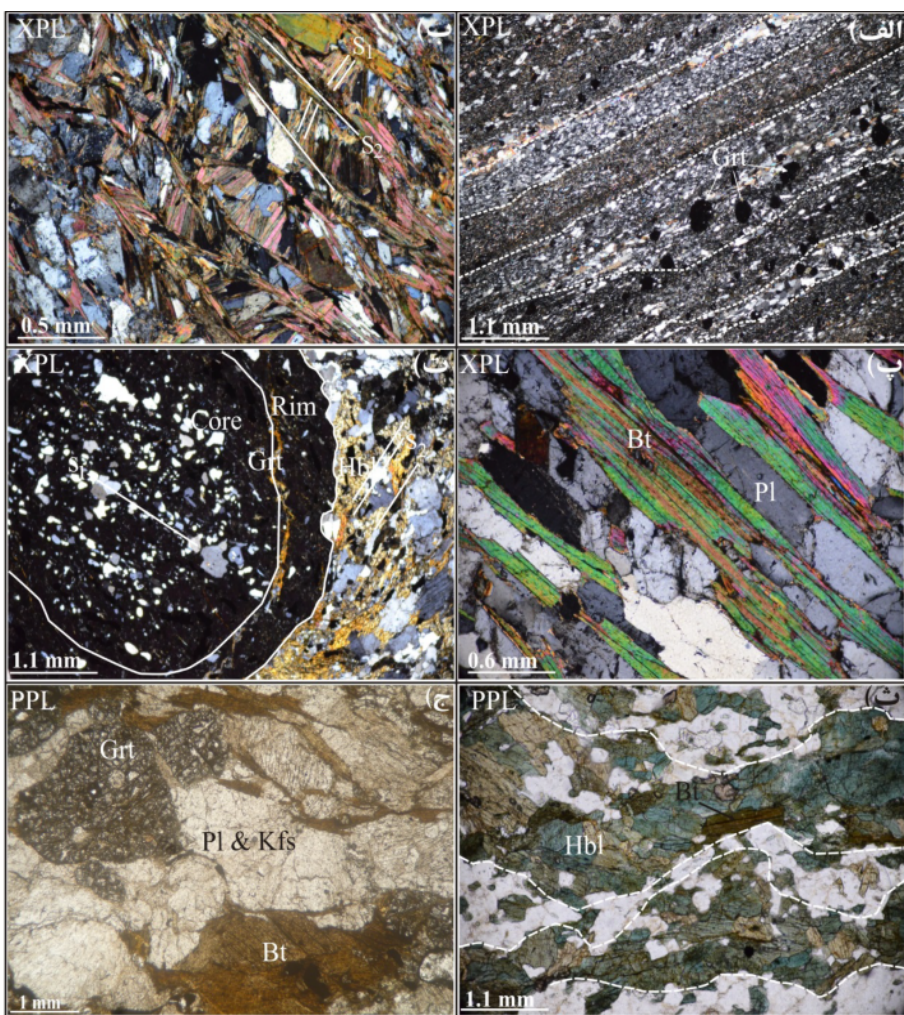
ارتباط رشد پورفیروبلاست‌ها با مراحل دگریختی در همبافت

های دگرگونی گل گهر و روتشنون

بلورهای گارنت، بیوتیت، موسکویت و هورنبلند، پورفیروبلاست‌هایی هستند که در بسیاری موارد، حین فازهای دگریختی اعمال شده روی سنگ‌های مورد بررسی، چند مرحله رشد را پشت سر گذاشته‌اند. علائم اختصاری استفاده شده برای کانی‌ها در این مقاله از [۶] اقتباس شده‌اند.

های کوارتز، فلدسپات، کلریت، کانی‌های کدر و گرافیت اولیه‌ای تعریف می‌شود که در اثر دگرگشکلی، کشیده شده و سمتگیری کرده‌اند. علاوه بر این، در این شیستوزیت، کانی‌های جدیدی شامل موسکویت، بیوتیت و گارنت نیز ایجاد شده‌اند (شکل ۳ الف). این برگوارگی از نوع برگوارگی پیوسته اسلیتی و شیستی بوده و موازی با لایبندی اولیه است. البته در یک راستا قرار گرفتن شکل‌های دگرگون بیوتیت، گارنت و آمفیبول باعث ایجاد خطوارگی ضعیف L_1 در این سنگ‌ها نیز شده است. این خطوارگی بیشتر در سنگ‌هایی قابل مشاهده است که درجه‌ی دگرگونی در آن‌ها پایین‌تر بوده و برگوارگی S_1 را به خوبی حفظ کرده‌اند، ولی در بعضی مناطق، مانند بخش‌های غربی منطقه، در اثر فازهای تغییر شکل بعدی و افزایش شدت دگرگونی، این خطوارگی از بین رفته و خطوارگی L_2 جای آن را می‌گیرد. در سنگ‌هایی که دارای برگوارگی فراگیر S_2 هستند، برگوارگی S_1 به صورت دنباله در برداری در بلورهای گارنت و نیز به صورت ریز بلورهایی در زمینه‌ی سنگ که راستایی متفاوت با شیستوزیت S_2 دارند، قابل مشاهده‌اند. در این حالت، برگوارگی S_1 ، زاویه‌ی ۵۰ تا ۷۰ درجه با برگوارگی فراگیر S_2 می‌سازد (شکل ۳ ب). شیستهای منطقه شامل موسکویت شیست، بیوتیت شیست و بیوتیت گارنت شیست هستند. پاراژنر کانیایی این سنگ‌ها عبارتند از بیوتیت، موسکویت، گارنت، کوارتز و فلدسپات. کانی‌های زیرکن، تورمالین، کلریت و کانی‌هایی که از فازهای فرعی موجود در این نمونه‌ها به شمار می‌روند. در این سنگ‌ها، شیستوزیت S_2 به خوبی گسترش یافته و تنها بقایایی از شیستوزیت S_1 با جهتی متفاوت بین شیستوزیت S_2 دیده می‌شوند (شکل ۳ ب). بافت غالب این سنگ‌ها، گرانولپیدوبلاستیک و نماتوبلاستیک است. البته با درشت‌شدن اندازه‌ی بلورها در سنگ، بافت ریزدانه‌ای ناشی از افزایش درجات دگرگونی ظاهر می‌شود (شکل ۳ پ).

سنگ‌های مافیک دگرگون شده عبارتند از اپیدوت، آمفیولیت و آمفیبولیت هستند که به صورت تشکیل پاراژنر کانیایی اپیدوت، هورنبلند، بیوتیت و پلازیوکلاز دیده می‌شوند. وجود مقدار زیاد هورنبلند و اپیدوت که گاهی بیش از ۷۰ درصد حجم این سنگ‌ها را تشکیل می‌دهند و نشانه‌ی مقادیر بالای آهن و منیزیم در سنگ اولیه هستند، به همراه گسترش برگوارگی ضعیف در این سنگ‌ها نشان می‌دهد که سنگ خاستگاه آن‌ها به احتمال بسیار زیاد، سنگ‌های آذرین بازی، مانند بازالت و یا معادل درونی آن بوده است. پورفیروبلاست-



شکل ۳ تصاویر میکروسکوپی از واحدهای سنگی منطقه، الف: توسعه کلیواز اسلیتی به موازات لایه‌بندی اولیه در فیلیت‌های همبافت روتشنون؛ ب: گسترش شیستوزیته S_1 و S_2 در شیستهای روتشنون؛ پ: درشت‌شدگی پورفیروblastها ناشی از افزایش درجه دگرگونی در شیستهای گل گهر؛ ت: پورفیروblastهای گارنت در آمفیبولیت‌های گل گهر؛ ث: تناوبی از نوارهای تیره و روشن در آمفیبولیت‌های گل گهر؛ ج: پورفیروblastهای پلاژیوکلаз، گارنت و فلدسپات پتاسیم در گنیس‌های گل گهر.

بیوتیت و کلریت نسل اول را به صورت خمیده بین شیستوزیته S_2 مشاهده کرد (شکل ۳ ب).

هورنبلند و اپیدوت: بن کانی‌ها در سنگ‌های بازی همبافت‌های گل گهر و روتشنون، که درجات دگرگونی پایینی دارند و هنوز بافت پورفیری سنگ مادر در آنها قابل تشخیص است، دیده می‌شوند و به اولین مرحله‌ی دگریختی وابسته‌اند.

گارنت: یکی از مهمترین پورفیروblast در سنگ‌ای منطقه است و طیف گسترده‌ای از بلور را نشان می‌دهد. روابط برگوارگی داخلی (Si) و برگوارگی زمینه (Se) که برای تعیین سن نسبی رشد کانی‌ها نسبت برگوارگی به کار می‌رود [۷].

پورفیروblast‌های شاخص اولین مرحله‌ی دگریختی موسکویت، بیوتیت، کلریت، کوارتز و فلدسپات

این کانی‌ها در سنگ‌های اسلیتی همبافت گل گهر و روتشنون باعث گسترش شیستوزیته S_1 شده‌اند که موازی با لایه‌بندی اولیه است. در این نمونه‌ها، درصد بلورهای کلریت، موسکویت و بیوتیت کم بوده و بلورهای کوارتز و فلدسپات بخش بزرگی از سنگ را به خود اختصاص می‌دهند (شکل ۳ الف). در سنگ‌هایی با درجه دگرگونی بالاتر، یعنی در فیلیت‌ها و شیستهای همبافت‌ها گل گهر و روتشنون که شیستوزیته فرآگیر S_2 در آنها گسترش یافته است، می‌توان بقایایی از بلورهای موسکویت،

شیستوزیته S_2 مرتب شده‌اند، به درون بلورهای گارنت مورد نظر نیز نفوذ کرده‌اند و این نشان می‌دهد که بخش حاشیه‌ای این بلورها روی شیستوزیته S_2 رشد کرده است (شکل ۴ ث، چ). گروه دیگر از گارنت‌های موجود در سنگ‌های بازی همبافت گل گهر، به صورت پورفیروبلاست‌های شکل‌داری دیده می‌شوند که حاوی نفوذی‌هایی با جهت‌یافتنگی مستقیم از کوارتز، بیوتیت و کانی‌های کدر هستند. تخت‌شدنگی بلورهای هورنبلند و بیوتیت در اطراف این پورفیروبلاست‌ها وجود نفوذی‌های مستقیم موجود در آنها که جهت شیستوزیته S_1 را نشان می‌دهند، دلالت بر آن دارد که این گارنت‌ها درون‌زا بوده و در فاصله زمانی بین دو شیستوزیته S_1 و S_2 تشکیل شده‌اند (شکل ۴ چ، ح).

پورفیروبلاست‌های بوجود آمده همزمان با دومین مرحله دگریختی

این مرحله از دگریختی، مهمترین مرحله‌ی دگرگونی و تغییر‌شکل سنگ‌های مورد بررسی را به همراه داشته و باعث تشکیل شیستوزیته اصلی و فراگیر S_2 در آنها شده است.

موسکویت و بیوتیت: در این مرحله از دگریختی، کانی‌های موسکویت و بیوتیت در سنگ‌های دگرگون مجموعه‌های روتشون و گل گهر، به موازات سطح محوری چین‌های مرحله‌ی دوم رشد کرده‌اند و برگوارگی فراگیر S_2 را به وجود آورده‌اند که از نوع برگوارگی کنگرهای پیوسته متقارن، نامتقارن و فاصله‌دار هستند. در موارد زیادی نیز جهت‌یابی ترجیحی و به صفت‌شدنگی بلورهای بیوتیت و موسکویت و مسطح شدن بلورهای کوارتز و فلدسپات باعث به وجود آمدن حوضه‌های میکرولیتون و میکروکلیواژ در این سنگ‌ها شده‌اند.

هورنبلند و اپیدوت: پورفیروبلاست‌های آمفیبول و اپیدوت در سنگ‌های آذرین بازیک دگرگون شده همبافت‌های گل گهر و روتشون، همرا با این مرحله از دگریختی شکل گرفته‌اند. جهت‌یابی ترجیحی این بلورها به همراه بلورهای کوارتز و فلدسپات، به صورت تناوبی از نوارهای تیره و روش، شیستوزیته S_2 را نشان می‌دهد (شکل ۳ ث).

گارنت: در فیلیت‌ها و شیستهای رسوبی همبافت‌های گل گهر و روتشون و سنگ‌های گنیسی همبافت گل گهر، گارنت‌ها، همزمان با دومین مرحله از دگریختی تشکیل شده‌اند. در فیلیت‌ها و شیستهای رسوبی همبافت‌های گل گهر و روتشون،

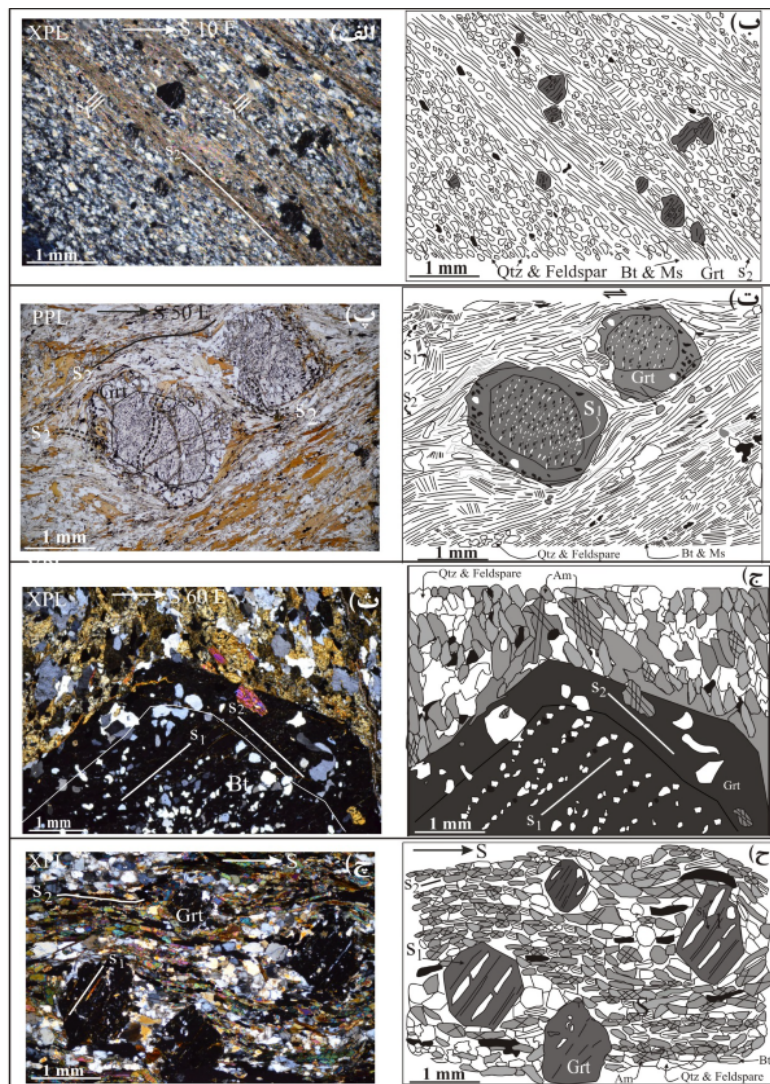
نشان می‌دهد که گارنت‌های موجود در اولین برگوارگی (S_1) در اسلیت‌ها، فیلیت‌ها و شیستهای رسوبی هر دو همبافت، همزمان با اولین مرحله دگریختی تشکیل شده و دارای نفوذی‌های سینوسی شکل، به صورت تناوبی از نازک لایه‌های تیره و روشن هستند که شیستوزیته S_1 را نشان می‌دهند (شکل ۴ الف و ب). این کانی‌ها، به صورت بلورهای ریز خودشکلی دیده می‌شوند که دارای سایه فشاری متقارن هستند. در نمونه‌های فیلیتی و شیستی همبافت‌های دگرگونی گل گهر و روتشون، شیستوزیته فراگیر S_2 نیز گسترش یافته و می‌توان بقایایی از شیستوزیته S_1 را در بین شیستوزیته S_2 مشاهده کرد و در این نمونه‌ها شیستوزیته S_2 اطراف گارنت‌ها را فرا گرفته و بلورهای بیوتیت و موسکویت در اطراف آنها تخت‌شدنگی نشان می‌دهند. در شیستهای رسوبی همبافت‌های روتشون و گل گهر، پورفیروبلاست‌هایی از گارنت همراه با شیستوزیته S_1 تشکیل شده‌اند که حاوی محصور کننده‌های سینوسی شکل هستند. از آنجایی که در این سنگ‌ها، شیستوزیته فراگیر S_2 نیز به وجود آمده و تنها بقایایی از شیستوزیته S_1 در سنگ دیده می‌شوند، این گارنت‌ها، یک مرحله رشد دیگر را همزمان با شیستوزیته S_2 نیز پشت سر گذاشته‌اند و اکنون دو قسمت مرکزی (همزمان با شیستوزیته S_1) و حاشیه‌ای (همزمان با شیستوزیته S_2) را نشان می‌دهند (شکل ۴ پ و ت).

پورفیروبلاست‌های بوجود آمده بعد از شیستوزیته S_1 و قبل از دگریختی مرحله دوم

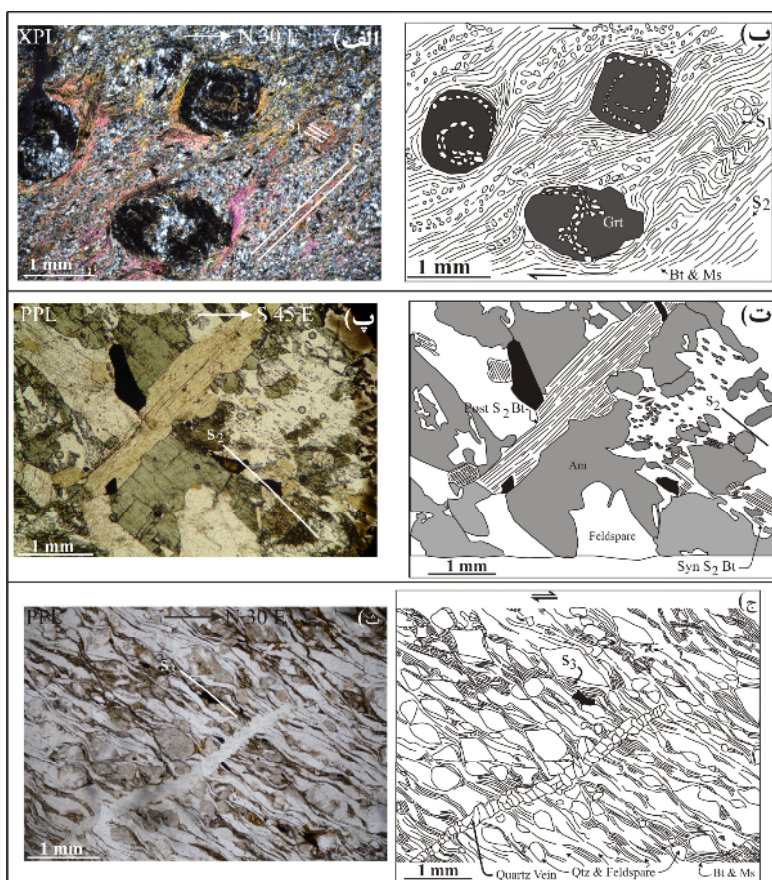
گارنت: در سنگ‌های متابازیت و گنیس‌های همبافت گل گهر، گارنت‌هایی دیده می‌شوند که از دو بخش مرکزی و حاشیه‌ای تشکیل شده‌اند و دو مرحله رشد را نشان می‌دهند. بخش مرکزی این پورفیروبلاست‌ها دارای نفوذی‌هایی با جهت‌یافتنگی مستقیم از کوارتز، فلدسپات و کانی‌های کدر هستند که زوایایی بین ۵۰ تا ۷۰ درجه با شیستوزیته اصلی و فراگیر سنگ (شیستوزیته S_2) می‌سازند و پس از شیستوزیته S_1 بوجود آمده‌اند. بخش حاشیه‌ای این پورفیروبلاست‌ها دارای نفوذ کمتر و هم جهت با شیستوزیته S_2 بوده و بلورها دارای سطوح صاف و شکل‌دار هستند و پس از شیستوزیته S_2 بوجود آمده‌اند. این پورفیروبلاست‌ها قادر سایه فشاری و کلاه واتنشی بوده و پورفیروبلاست‌های آمفیبول موجود در این سنگ‌ها که در جهت

در رژیم خزشی و انحلال انتخابی رخ داده و موجب شکل‌های کشیده در گارنت شود [۸]. گروهی دیگر از گارنت‌ها از دو بخش مرکزی و بخش حاشیه‌ای تشکیل شده‌اند (همانطور که در قسمت قبل توضیح داده شد) که قسمت حاشیه‌ای این گارنت‌ها، با این مرحله از دگریختی تشکیل شده‌اند (شکل ۴ پ، ت). در سنگ‌های گنیسی همبافت گل‌گهر، گارنت‌هایی دیده می‌شوند که همزمان با شیستوزیت S_2 تشکیل شده‌اند. این کانی‌ها دارای سایه فشاری نامتقارن هستند و همراه با دیگر کانی‌های تشکیل دهنده سنگ، در جهت شیستوزیت مرتب شده‌اند (شکل ۳ ج).

گروهی از گارنت‌ها نسبت به برگوارگی مرحله‌ی دوم چرخش نشان می‌دهند و سایه‌ی فشاری نامتقارن دارند و درونگیرهای سینوسی شکل موجود در آنها به برگوارگی زمینه ملحق می‌شوند. این گارنت‌ها همزمان با شیستوزیت S_2 تشکیل شده‌اند. جهت‌گیری نفوذی‌های داخل گارنت و الحاق این نفوذی‌ها به برگوارگی زمینه، چرخش در جهت حرکت عقربه‌های ساعت (مولفه راستگرد) را در گارنت‌ها نشان می‌دهد (شکل ۵ الف، ب). دسته‌ای از گارنت‌ها در این مرحله، کشیدگی یافته‌اند که می‌تواند در اثر رشد ناهمسانگرد و دگرشکلی پلاستیک رخ داده باشد. زیرا دگرشکلی پلاستیک می‌تواند در قالب تبلور دوباره،



شکل ۴ تصاویر میکروسکوپی از واحدهای سنگی منطقه؛ الف، ب: بلورهای گارنت به وجود آمده همزمان با اولین مرحله‌ی دگریختی در فیلیت-های همبافت روتشنون؛ پ، ت: پورفیروبلاست‌های گارنت در شیستهای رسوی همبافت‌های روتشنون و گل‌گهر؛ ث، ج: پورفیروبلاست‌های گارنت در سنگ‌های متابازی همبافت گل‌گهر که از دو بخش مرکزی و حاشیه‌ای تشکیل شده‌اند و دو مرحله‌ی رشد را نشان می‌دهند؛ چ، ح: تصاویری از پورفیروبلاست‌های گارنت‌ها در سنگ‌های آذرین بازی همبافت گل‌گهر.



شکل ۵ الف، ب: چند ترکیبی‌های گارنت‌ها و شیسته‌های رسوبی همبافت روتشون که همزمان با شیستوزیت S_2 تشکیل شده‌اند؛ پ، ت: پورفیروبلاست‌های بیوتیت در سنگ‌های بازی همبافت گل‌گهر که روی شیستوزیت S_2 رشد کرده‌اند؛ ث، ج: فاز دگرشکلی D_3 باعث تبدیل شدن سنگ به میلونیت و ایجاد شیستوزیت محلی S_3 شده است. در این نمونه بلورهای کوارتز و فلدسپات به صورت عدسی‌هایی کشیده دیده می‌شوند که از طرفین به‌وسیله‌ی ریزبلورهای موسکویت و بیوتیت و از دو انتهای نیز با ریزبلورهای کوارتز احاطه شده‌اند.

پورفیروبلاست‌ها فاقد نفوذی و در صورت وجود ادخال (آمفیبول، کوارتز، فلدسپات و کانی‌های کدر) هم جهت با شیستوزیت کلی سنگ هستند. بنابراین بخش حاشیه‌ای این پورفیروبلاست‌ها بعد از شیستوزیت S_2 رشد کرده‌اند (شکل ۴ ث، ج).

پورفیروبلاست‌هایی به وجود آمده همزمان با دگریختی مرحله سوم

در این مرحله از گسترش و تکامل سنگ‌های دگرگون منطقه، فاز دگرشکلی D_3 ، به صورت یک فاز برشی محلی در منطقه عمل کرده و کانی خاصی که در اثر عملکرد این فاز ایجاد شده باشد، مشاهده نمی‌شود.

تنها، در راستای منطقه‌های برشی، ریزبلورهایی از موسکویت به وجود آمده است که جهت‌گیری آن‌ها و هم جهت

بافت‌های دگرگون به وجود آمده پس از شیستوزیت S_2 و قبل از دگریختی مرحله سوم بیوتیت: در سنگ‌های فیلیتی و آهکی همبافت روتشون و سنگ‌های بازی همبافت گل‌گهر، پورفیروبلاست‌هایی از بیوتیت (تا قطر ۱ سانتی‌متر) روی شیستوزیت رشد کرده‌اند. رنگ این پورفیروبلاست‌ها از قهوه‌ای کم پررنگ متغیر بوده و رخ‌های یک جهتی واضح و مشخص در این بلورها برخلاف شیستوزیت کلی سنگ هستند (شکل ۵ پ، ت).

گارنت: در سنگ‌های متابازی و گنیسی کمپلکس گل‌گهر، گروهی از گارنت‌ها دیده می‌شوند که از دو قسمت مرکزی (بعد از شیستوزیت S_1) و حاشیه‌ای (پس از شیستوزیت S_2) (چنانکه در بخش‌های قبل توضیح داده شد)، تشکیل شده‌اند. سطح بیرونی این پورفیروبلاست‌ها، صاف و شکل‌دار بوده و فاقد سایه‌ی فشارشی و کلاه واتنشی هستند. بخش حاشیه‌ای این

است. در نیمرخ‌های ترکیبی رسم شده (شکل ۶)، در هسته‌ی گارنت‌ها (گارنت‌های مرحله‌ی اول دگرگونی)، مقدار سازنده‌های گارنت و اسپسارتین از مرکز به حاشیه کاهش و مقدار سازنده‌های آلماندن و پیروپ افزایش می‌یابند. در بعضی نیمرخ‌های مقدار سازنده‌های آلماندن و پیروپ به سمت حاشیه‌ی (HASHIYE گارنت‌های مرحله اول) کاهش جزئی نشان می‌دهند که می‌تواند به علت عملکرد دگرگونی پس رونده باشد که حاشیه‌ی گارنت‌ها را تحت تاثیر قرار داده است [۱۱-۹]. این حالت، نمایش ضعیفی از منطقه‌بندی وارون را در گارنت‌های مورد بررسی وابسته به مرحله‌ی اول دگرگونی نشان می‌دهد. اما دوباره در گارنت‌های نسل دوم دگرگونی که به صورت حاشیه‌ای، اطراف گارنت‌های مرحله‌ی اول تشکیل می‌دهند، مقدار سازنده‌های آلماندن و پیروپ به سمت حاشیه افزایش نشان می‌دهد (شکل ۶). به عقیده‌ی [۱۲] ضخامت حاشیه‌ای که منطقه‌بندی وارون در گارنت نشان می‌دهد، ارتباط مستقیم با کانی مجاور گارنت دارد. در مواردی که گارنت در تماس مستقیم با بیوتیت و کلریت است، حاشیه‌ها دارای منطقه‌بندی وارون ضخیمتری هستند، ولی حاشیه‌هایی که در مجاورت کوارتز و فلدسپات قرار دارند، منطقه‌بندی وارون نداشته و یا حاشیه منطقه‌بندی در آنها بسیار نازک است.

رشد گارنت‌های همزمان با شیستوزیتنه S_2 : در این مرحله، یک رشد ثانویه در اطراف هسته گارنت‌های مرحله‌ی اول مشاهده می‌شود. در این حاشیه‌ها، در همبافت گل‌گهر مقدار $X_{\text{Grs}}: 0/۰۲۰۸$ ، $X_{\text{Prp}}: 0/۰۷۲$ ، $X_{\text{Alm}}: 0/۶۸۲$ در همبافت روتشنون، عبارتند از $0/۰۶۷۳$ ، $X_{\text{Alm}}: 0/۱۲۲$ ، $X_{\text{Prp}}: 0/۱۲۲$ ، $X_{\text{Grs}}: 0/۰۳۶$ و $X_{\text{Sps}}: 0/۰۳۱$ $X_{\text{Grs}}: 0/۱۸۴$ بررسی نیمرخ این دو نسل از گارنت نشان می‌دهد که مقدار اسپسارتین از هسته به سمت حاشیه کم شده و مقدار آلماندن و پیروپ افزایش می‌یابد (شکل ۶).

نیمرخ این گارنت‌ها یک نیمرخ پیشرونده است به طوری که مقدار سازنده‌های اسپسارتین و گروسو لار به سمت حاشیه کاهش و مقدار سازنده‌های آلماندن و پیروپ افزایش می‌یابد. بررسی ترکیب شیمیایی گارنت‌ها در سنگ‌های مورد بررسی حاکی از آن است که حادثه‌ی دگرگونی دوم، نسبت به حادثه‌ی اول، درجه بالاتری داشته و گارنت‌های حاصل از آن نیز به منطقه‌ی گارنت وابسته‌اند. این نتیجه با دیگر مناطق بررسی شده در دنیا همانهنجی دارد [۱۳].

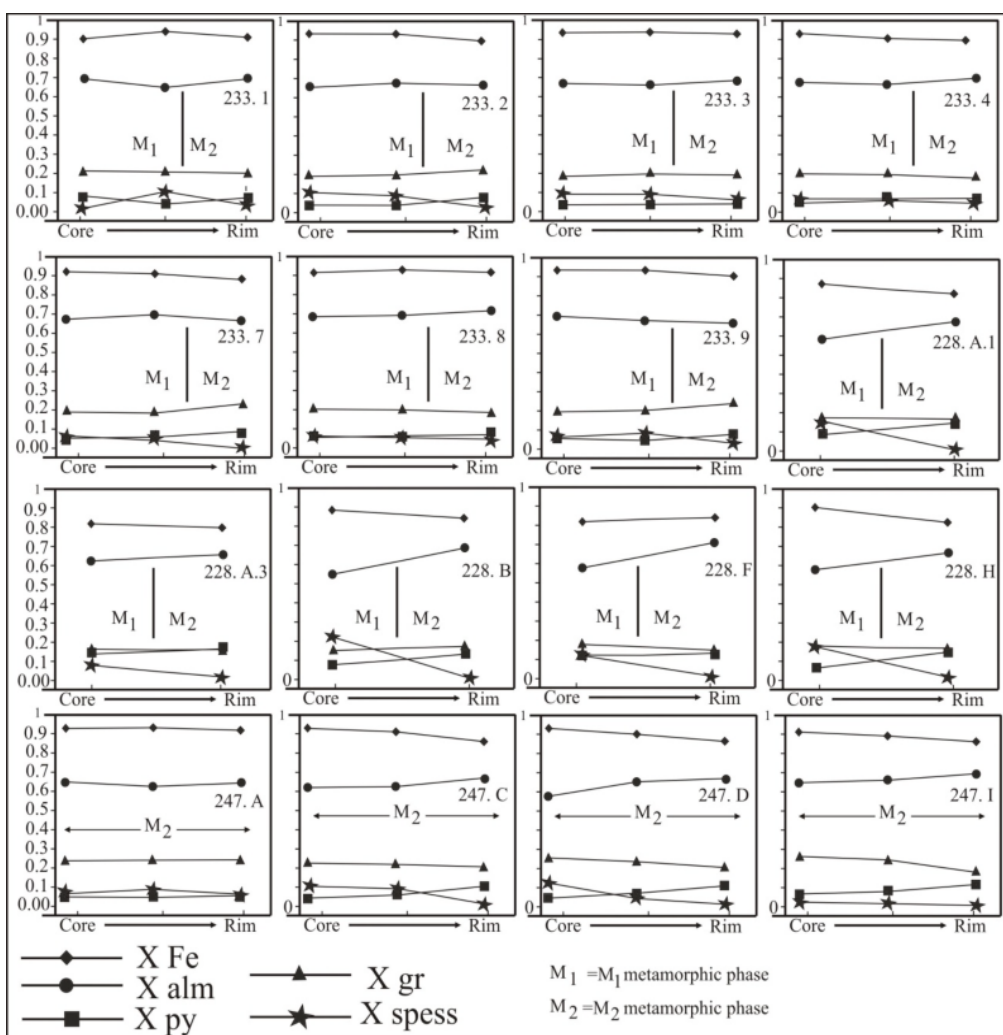
شدن دیگر کانی‌های تشکیل دهنده‌ی سنگ با نیروهای برشی، موجب تشکیل برگوارگی محلی و ضعیف S_3 شده است و در مواردی نیز این برگوارگی موازی S_2 است. این برگوارگی در اثر پهنه‌شده‌گی دانه‌های کوارتز و فلدسپات و قرارگیری و مرتب شدن موسکوویت‌های اولیه در اطراف این چند ترکیبی‌ها خود را نشان می‌دهد. همچنان این فاز دگرشکلی به صورت ساختارهای میلیونیتی، سطوح $C - S$ و C' ، میکاهای ماهی شکل، ایجاد ساختار قفسه کتابی و کینک باند در بلورها، شکستگی، بودینه شدن و چین خوردگی رگه‌های کوارتز تراوشی و کلسیتی، عدسی شدن بلورهای پلاژیوکلاز، کوارتز و گارنت و یا همه این بلورها با هم در زمینه‌ی ریز بلور (بورفیروبلاست‌های پوششی S یا δ)، ایجاد دگرسانی و هاله در اطراف چند ترکیبی‌ها، در سنگ‌های منطقه قابل مشاهده‌اند (شکل ۵ ث، ۷). در آخرین مرحله‌ی از تکامل این سنگ‌ها، پدیده‌ی گسل خوردگی (فاز دگرشکلی D_4) به صورت یک پدیده‌ی غالب در منطقه عمل کرده و موجب انواع گسل‌های عادی، وارون و راستالغز شده است که اثرهای آن به صورت ایجاد دره‌های پرشیب، تغییر جهت شبیه و امتداد لایه‌ها و شکستگی و خردشده‌گی واحدهای یاد شده دیده می‌شوند.

شیمی کانی‌ها

در این مبحث به شیمی کانی‌های گارنت، بیوتیت و موسکوویت موجود در سنگ‌های رسی- نیمه‌رسی دگرگون شده (بیوتیت شیست، موسکوویت گارنت شیست، بیوتیت گارنت موسکوویت شیست) همبافت‌های گل‌گهر و روتشنون پرداخته می‌شود.

گارنت

گارنت یکی از مهمترین چند ترکیبی‌ها در سنگ‌های مورد بررسی است که طیف گستره‌ای از تبلور را نشان می‌دهد. رابطه‌ی بین برگوارگی داخلی در این کانی‌ها و برگوارگی موجود در زمینه، برای تعیین سن نسبی رشد آنها به کار می‌رود [۷]. ترکیب گارنت‌های همزمان با شیستوزیتنه S_1 : این مرحله از رشد گارنت‌ها، به صورت یک هسته که دارای نفوذیه‌ای مستقیم تا سینوسی است، قابل مشاهده است. ترکیب شیمیایی این نسل از گارنت‌ها، در همبافت گل‌گهر شامل $0/۶۵۷$ ، $X_{\text{Alm}}: 0/۰۵۳$ ، $X_{\text{Prp}}: 0/۱۹۹$ ، $X_{\text{Grs}}: 0/۰۷۱$ و $X_{\text{Sps}}: 0/۰۵۳$ است، در حالیکه همین مقادیر برای نسل اول گارنت‌ها در همبافت روتشنون برابر با $0/۶۱۲$ ، $X_{\text{Alm}}: 0/۰۷۳$ ، $X_{\text{Prp}}: 0/۰۱۲$ ، $X_{\text{Grs}}: 0/۰۷۳$ و $X_{\text{Sps}}: 0/۰۱۱$ است.



شکل ۶ نیمرخ منطقه‌بندی گارنت در سنگ‌های رسوی دگرگون شده همبافت‌های گل‌گهر و روتشنون نشان می‌دهد، در این نیمرخ‌ها، مقدار سازنده‌های اسپسارین و گروسولار به سمت حاشیه کاهش و مقدار سازنده‌های آلماندن و پیروپ افزایش می‌یابد.

مقدار متوسط TiO_2 در آنها ۱/۶۹ است و دارای نسبت متوسط $\text{Fe}/(\text{Fe}+\text{Mg})$ ۰/۵۸۴ است. بررسی‌های سنگنگاری معلوم شد که این گروه ریزدانه بوده و در شکل (۴ پ، ت) تصویر میکروسکوپی آنها ارائه شده است. گروه دوم آنها‌یی هستند که دارای TiO_2 , Al_2O_3 , SiO_2 , MgO , K_2O و FeO پایین‌تری دارند. در این گروه، میانگین TiO_2 ۱/۹۵ است و نسبت میانگین $\text{Fe}/(\text{Fe}+\text{Mg})$ برابر است با ۰/۴۱۲. این گروه درشت دانه بوده و بافت‌های تعادلی لپیدوبلاستیک و گرانوبلاستیک تا حدودی در آنها توسعه یافته است (شکل ۳ پ). در این بلورها مقدار سازنده فلوگوپیت بیشترشده و افزایش در مقدار عناصر ذکر شده در آنها ناشی از افزایش درجه دگرگونی می‌باشد که با

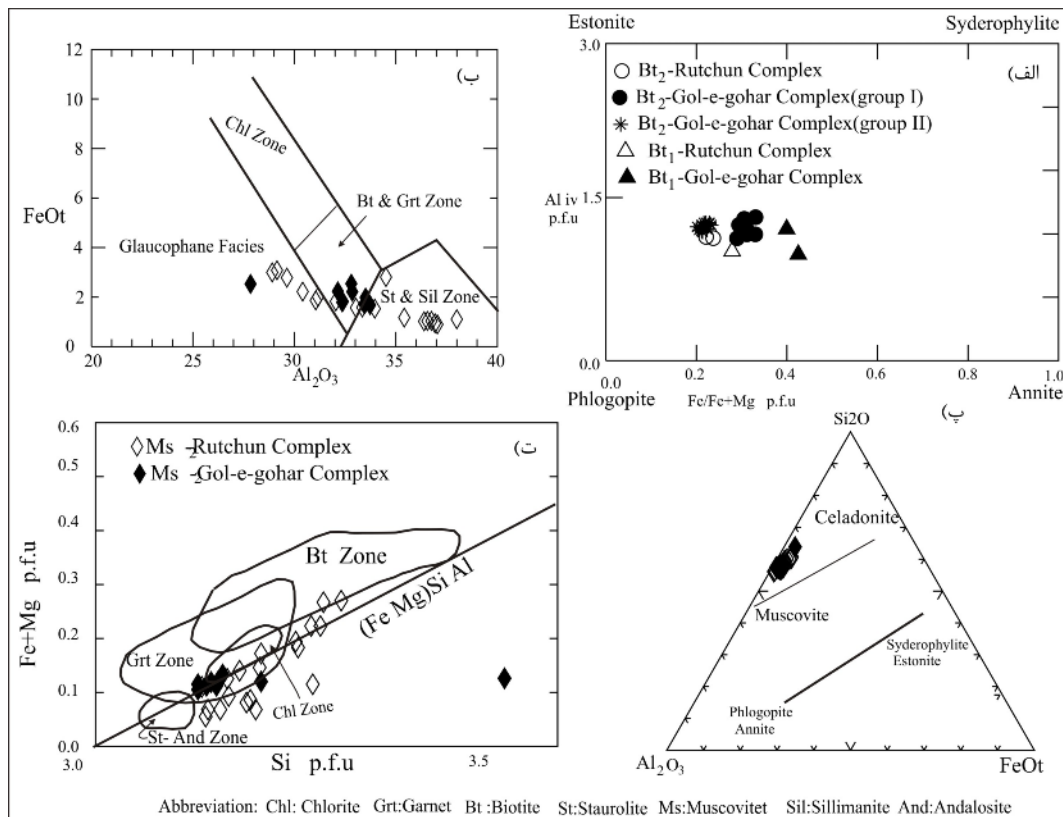
بیوتیت
بلورهای بیوتیت موجود در سنگ‌های رسی - نیمه رسی دگرگون شده (بیوتیت شیست، بیوتیت گارنت موسکویت شیست)، به سه مرحله‌ی مختلف دگریختی وابسته‌اند. بلورهای بیوتیت همزمان با شیستوزیت₁ در بلورهای بیوتیت TiO_2 نسل اول همبافت وابسته به گل‌گهر، مقدار میانگین ۰/۵۹۳ است و نسبت میانگین $\text{Fe}/(\text{Fe}+\text{Mg})$ ۱/۷۷۵ است. این نیز میانگین TiO_2 ۱/۶۸ است و نسبت همبافت روتشنون نیز میانگین ۰/۴۴ است. این بلورها بیشتر دارای ترکیب فلوگوپیت هستند [۱۴] (شکل ۷ الف).

بلورهای بیوتیت همزمان با شیستوزیت₂: این نسل از بیوتیت‌ها در همبافت گل‌گهر، شامل دو گروه‌اند. گروه اول که

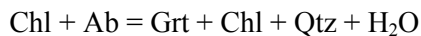
موسکویت

بلورهای موسکویت چنانکه پیش از این گفته، طیف گسترهای از تبلور را در سنگ‌های مورد بررسی نشان می‌دهند. بلورهای موسکویت، از نمونه‌های بیوتیت گارنت موسکویت شیست و موسکویت گارنت شیست وابسته به همبافت‌های دگرگون گل گهر و روتشنون که دارای بیشترین درجه دگرگونی بودن، انتخاب شده و مورد بررسی قرار گرفتند. تغییرات موسکویت با افزایش دما در شکل ۷ ب [۱۵] است. چنانکه مشاهده می‌شود ترکیب شیمیایی موسکویت‌ها بیشتر در گسترهی منطقه‌ی گارنت و استارولیت قرار می‌گیرند. در شکل ۷ پ [۱۶]، موسکویت‌ها غنی از عضو نهایی موسکویت هستند. پاراگونیت دومین تشکیل دهنده‌ی موسکویت است. کاهش کسر مولی فنزیت در موسکویت با افزایش درجه دگرگونی در مناطق با دگرگونی که فشار پایین تا پرفشار از سوی پژوهندگان مختلف بررسی شده است [۱۷-۱۹].

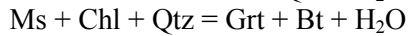
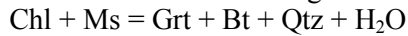
مطالعات سنگنگاری نیز مطابقت دارد. در کمپلکس روتشنون نیز مقدار متوسط TiO_2 دانه‌های بیوتیت ۱/۵۴ است. نسبت متوسط $Fe/(Fe+Mg)$ ، Al^{IV}/Al^{IV} می‌باشد و مقدار TiO_2 در بیوتیت دارای مقدار چشمگیری $Xphl$ و مقادیر کمتری $Xann$ و Ti هستند. با افزایش درجه دگرگونی، مقدار Mg و Ti در بیوتیت-های مورد بررسی افزایش و نسبت Fe^{2+}/Mg کاهش می‌یابد. همچنین تفاوت در مقادیر TiO_2 وابسته به نقاط تجزیه شده از بلورهای بیوتیت در یک نمونه سنگی، احتمالاً در اثر اختلاف انتشار کاتیونی در دانه‌های بیوتیت است. بهطوری که در اطراف بعضی دانه‌های بیوتیت، بلورهای کوچکی از کانی‌های کدر (ایلمنیت) وجود دارد که احتمالاً در اثر انتشار کاتیونی از دانه‌های بیوتیت تشکیل شده‌اند و این می‌تواند علت تفاوت در مقدار TiO_2 بلورهای بیوتیت در یک نمونه سنگی باشد.



شکل ۷ الف: ترکیب شیمیایی بیوتیت‌های تجزیه شده نسل اول و دوم که بیشتر دارای ترکیب فلوگوپیت هستند [۱۴]. ب: تغییرات ترکیب شیمیایی موسکویت با افزایش دما [۱۵]، به طوری که مشاهده می‌شود موسکویت‌ها بیشتر در گسترهی منطقه‌ی گارنت و استارولیت قرار می‌گیرند؛ پ: در این نمودار موسکویت‌ها غنی از عضو نهایی موسکویت هستند [۱۶]؛ ت: در موسکویت‌های مورد بررسی نیز با افزایش دمای دگرگونی محتواهای فنزیت کمتر می‌شود [۲۰]، در این نمودار، بیشتر موسکویت‌ها در منطقه‌ی گارنت قرار می‌گیرند.



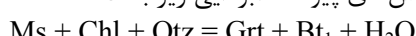
پاراژنر [۲-۱] شامل فیلیت‌هایی است که در آنها شیستوزیته S_2 در اثر جهت‌گیری تیغه‌های موسکوویت و کلریت شروع به تشکیل شدن کرده است و اوایل تشکیل شیستوزیته S_2 را نشان می‌دهد. اندازه‌ی کانی‌ها در این پاراژنر نسبت به پاراژنر قبلی کمی درشت‌تر شده است (شکل ۴ الف؛ ب). پاراژنر [۳-۱] شامل فیلیت‌ها و شیسته‌هایی است که در آنها دو رشته برگواره‌ی (S_1 و S_2) قابل مشاهده‌اند (شکل ۳ ب). در این پاراژنرها اندازه‌ی بلورها درشت‌تر شده و بافت‌های نماتوبلاستیک و لپیدوبلاستیک را نشان می‌دهند. وجود کلریت، بیوتیت، موسکوویت و گارنت در پاراژنر [۲-۱] و [۳-۱] برای تولید بیوتیت و گارنت، نشان می‌دهد که واکنش‌های پیوسته آبزدایی زیر می‌تواند رخ داده باشد.



از طرف دیگر وجود دو نسل از گارنت در یک نمونه‌ی سنگی می‌تواند نشان دهنده‌ی واکنش پیوسته آبزدایی زیر باشد [۲۲].



این پاراژنرها و واکنش‌های کانیایی طی تکامل دگرریختی‌های مرحله‌ی اول و دوم در سنگ‌های مورد بررسی مشاهده می‌شوند. پاراژنر [۴-۱] شامل شیسته‌هایی می‌باشند که دارای ترکیب کانی‌شناسی گارنت، بیوتیت، موسکوویت، فلدسپات و کوارتز هستند که جهت شیستوزیته S_2 را نشان می‌دهند. در این نمونه‌ها شیستوزیته S_1 در حال محو شدن است و بافت‌های لپیدوبلاستیک و نماتوبلاستیک را نشان می‌دهند (شکل ۴ ب؛ ت و شکل ۵ الف؛ ب). شیسته‌های دانه متوسط تا دانه درشت و برگوارگی خوب توسعه یافته و بافت‌های لپیدوبلاستیک و گرانوبلاستیک مربوط به پاراژنر [۵-۱] می‌باشند (شکل ۳ پ). همزیستی بلورهای گارنت، بیوتیت، پلاژیوکلاز و موسکوویت (به مقدار کم و یا عدم حضور آن) در پاراژنرها [۴-۱] و [۵-۱] می‌تواند نشانه‌ی واکنش‌های پیوسته آبزدایی زیر باشد.



رابطه‌ی بین رویدادهای دگرگونی و فازهای دگرشکلی در مجموعه‌های گل گهر و روتشون

در اولین مرحله‌ی دگرریختی (D₁)، نیروهای فشارشی همراه با فاز گرمایی موجب دگرگونی سنگ‌ها و رسوب‌ها شده و چین‌های نسل اول را در منطقه تشکیل داده‌اند. برگوارگی مرحله‌ی اول با رشد کانی‌های صفحه‌ای بیوتیت و موسکوویت و بلورهای ریز گارنت تشکیل شده و اغلب موازی با لایه‌بندی اولیه است.

در موسکوویت‌های مورد بررسی نیز با افزایش دمای دگرگونی، اکسید Na_2O افزایش و اکسیدهای FeO ، MgO کاهش یابند و در نتیجه محتوای فنریت نیز کمتر می‌شود [۲۰] (شکل ۷ ت). در این نمودار، خطی که از گوشه پایین سمت چپ به سمت راست نمودار کشیده شده است، عضو نهایی فنریت را در موسکوویت مشخص می‌کند و نشان می‌دهد که با افزایش دمای دگرگونی مقدار سازنده‌ی Na_2O افزایش و مقدار سازنده‌ی MgO ، FeO و SiO_2 کاهش می‌یابند. این موضوع با دیگر مناطق بررسی شده در دنیا همانگی دارد [۲۱]. همچنین در این نمودار بیشتر موسکوویت‌ها در منطقه‌ی گارنت قرار می‌گیرند.

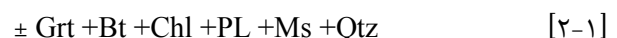
واکنش‌های کانیایی و پاراژنرها

روابط بافتی پیچیده‌ی موجود در سنگ‌های مورد بررسی، تغییرات ترکیبی لایه‌ها و تغییرات در شیمی کانی‌ها، دنباله‌ای از پاراژنرها و واکنش‌های کانیایی را در سنگ‌های رسی نیمه-رسی (بیوتیت شیست، بیوتیت گارنت موسکوویت شیست و موسکوویت گارنت شیست) همبافت‌های دگرگونی گل گهر و روتشون را نشان می‌دهد که به ترتیب افزایش درجه‌ی دگرگونی بیان شده است.

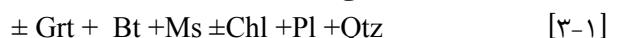
رخساره‌ی شیست سبز زیرین



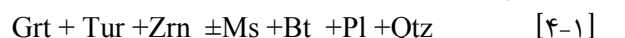
رخساره‌ی شیست سبز



رخساره‌ی شیست سبز بالای



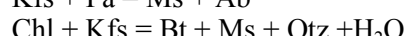
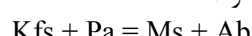
رخساره‌ی اپیدوت آمفیبولیت



رخساره‌ی آمفیبولیت زیرین



سنگ‌های رسوبی دگرگون شده‌ی در پاراژنر [۱-۱] عبارتند از اسلیت‌های گرافیتی سیاه رنگ و سنگ‌های اسلیتی و فیلیتی. این سنگ‌ها بسیار ریزدانه بوده و کانی‌های ریزکلریت، گرافیت، موسکوویت کوارتز و فلدسپات به موازات لایه‌بندی اولیه سنگ، جهت‌گیری کرده‌اند و موجب گسترش شیستوزیته S_1 شده‌اند (شکل ۳ الف). وجود کلریت، بیوتیت و موسکوویت در این پاراژنر نشان می‌دهد که موسکوویت و بیوتیت احتمالاً در اثر واکنش‌های پیوسته آبزدایی زیر تولید شده و چنین پاراژنرها بیشتر در مرحله اول دگرریختی مشاهده می‌شوند.



استفاده از سامانه‌ی (GPMB) محاسبه شد. بنابراین محاسبات، فشار ۷/۵ تا ۴/۵ کیلوبار برای شرایط دگرگونی M_1 و فشار ۷ تا ۸ کیلوبار برای شرایط اوج دگرگونی (فاز دگرگون M_2) محاسبه شد.

برداشت

مجموعه‌های دگرگونی گل‌گهر و روتشون در جنوب‌شرق کمریند برشی- دگرگونی سنندج - سیرجان شامل تنابوی از سنگ‌های بازی، آهکی و رسی دگرگون شده هستند که تحت تاثیر سه فاز دگرگونی و چهار مرحله‌ی دگرگشکلی قرار گرفته‌اند. پورفیروبلاستهای گارنت، بیوتیت و موسکویت از مهمترین پورفیروبلاستهای موجود در سنگ‌های رسی- نیمه رسی دگرگون شده‌اند که مراحل رشد متعددی نسبت به فازهای دگرگشکلی اعمال شده روی سنگ‌های مورد بررسی، را نشان می‌دهند. بررسی‌های سنگنگاری، شیمی کانی‌ها و محاسبات پیشرونده در منطقه از نوع فشار متوسط (باروین) بوده و تا اوایل رخساره‌ی آمفیبولیت پیش رفته است. داده‌های دما- فشارسنجی و شکل‌گیری‌های ساختاری و کانی‌شناسی به وجود آمده در سنگ‌های مورد بررسی حاکی از آن است که فاز کوهزایی سیمرین پیشین بیشترین تاثیر را بر سنگ‌های منطقه داشته و دگرگشکلی‌های مربوط به اوج دگرگونی را ایجاد کرده است.

مراجع

- [1] سبزه‌ای م، " نقشه زمین شناسی بررسی، مقیاس ۱/۱۰۰۰۰۰ "، سازمان زمین شناسی و اکتشافات معدنی کشور (۱۳۷۶).
- [2] Mohajjal M., Fergusson C.L., "Dextral transpression in late Cretaceous continental collision, Sanandaj-Sirjan zone, Western Iran", Journal of Structural Geology 22 (2000) 1125-1139.
- [3] شفیعی بافتی ش، " تکوین ساختاری و تکتونیکی سنگ های پالئوزوئیک- مژزوئیک کریند سنندج- سرجان، منطقه خبر (جنوب غربی بافت)"، پایان نامه کارشناسی ارشد، دانشگاه شهری بهشتی، (۱۳۷۹) ۱۵۳ صفحه.
- [4] Alavi M., "Tectonics of the Zagros orogenic belt of Iran, and its proforeland evolution", American Journal of Science 304 (1994) 1-20.
- [5] Best M., "Igneous and Metamorphic Petrology", Blackwell Publishing (2003) 729p.
- [6] Kretz R., "Symbols for rock forming minerals", American Mineralogist 68 (1983) 277- 279.

سپس با تغییر جهت تنش در مرحله‌ی دوم دگرگشکلی (D_2)، و هم زمان با M_2 ، پورفیروبلاستهای گارنت، بیوتیت و موسکویت در اثر رشد دوباره، درشت‌تر شده و در جهت شیسته‌زیته دوم (S_2) مرتب شده‌اند. در این مرحله، در اثر چین خوردن برگواره‌ی مرحله اول، چین خوردن مرحله دوم گسترش یافته است. برگوارگی نسل دوم از نوع سطح محوری بوده و موازی سطح محوری چین‌های نسل دوم شکل گرفته‌اند. این فاز دگرگشکلی، در منطقه‌ی مورد بررسی، همان فاز اصلی دگرگشکلی وابسته به سیمرین پیشین است که بیشترین نمود را در سنگ‌ها داشته و اوج دگرگونی را نشان می‌دهد. سومین فاز دگرگشکلی (D_3)، با سومین حادثه‌ی دگرگونی (M_3) همنهشت بوده و به صورت مناطق برشی عمل کرده است. در این مرحله ریز بلورهای موسکویت در راستای منطقه‌های برشی ایجاد شده است که جهت‌یابی آن‌ها و هم جهت‌شدن دیگر کانی‌های تشکیل دهنده سنگ با نیروهای برشی، موجب تشکیل برگواره محلی و ضعیف S_3 شده است. این فاز، به صورت محلی عمل کرده و باعث تشکیل میلیونیت‌های منطقه شده است. همچنین در این مرحله دگرگونی پس رونده نیز روی سنگ‌های مورد بررسی اثر کرده است.

فاز چهارم دگرگشکلی (D_4)، یک فاز شکنا بوده و هیچ کانی جدیدی را به وجود نیاورده است. بلکه به شکل گسل خوردگی و ایجاد درز و شکاف در سنگ‌ها ظاهر شده است. آثار این دگرگشکلی به صورت گسل‌های بهنجار وارون راستالغز و جابه- جایی واحدهای سنگی مشخص است. در مقاطع نازک نیز با ایجاد شکستگی در سنگ و کانی‌ها و خردشگی آنها خود را نشان می‌دهد (شکل ۵ ث؛ ج). بررسی‌های ریزساختاری سنگ- های مورد بررسی و تحلیل مراحل دگرگشکلی در آنها و نیز بررسی‌های [۱-۳] و [۲۳] نشان می‌دهد که حواض ساختاری و دگرگونی سنگ‌های منطقه منطبق بر فاز کوهزایی سیمرین پیشین بوده است.

محاسبات دما‌سنجی و فشارسنجی سنگ‌های رسی دگرگون شده مورد بررسی

برای تعیین شرایط دگرگونی از مجموعه کانی‌های گارنت- بیوتیت - پلازیوکلаз و موسکویت (سامانه GPMB) در طیف گستردگی از درجه دگرگونی استفاده شده است [۲۸-۲۴]. استفاده از دما‌سنج گارنت- بیوتیت [۲۷] برای تعیین دمای سنگ‌های رسی دگرگون شده مورد بررسی، دمای تقریبی ۴۴۰ تا ۴۶۰ را برای فاز دگرگونی M_1 و دمای ۵۷۰ تا ۶۰۰ را برای فاز دگرگونی M_2 تعیین می‌کند. فشار به روش [۲۵] با

- Contributions to Mineralogy and Petrology 93 (1986) 9-17.
- [19] Mather J.D., "The biotite isograd and the lower greenschist facies in the Dalradian rocks of Scotland", Journal of Petrology 11 (1970) 253-275.
- [20] Laird J., "Chlorites: metamorphic petrology. In: Hydrous phyllosilicates (ed Bailey, S. W.), Reviews in Mineralogy", Mineralogical Society of America 19 (1988) 405-453.
- [21] Graebner T., Schenk V., "Low-pressure metamorphism of Palaeozoic pelites in the Aspromonte, Southern Calabria: constraints for the thermal evolution in the Calabrian crustal cross-section during the Hercynian orogeny", Journal of metamorphic Geology 17 (1999) 157-172.
- [22] Martino R. D., Guereschi A. B., Sfragulla J. A., "Petrology, structure and tectonic significance of the Tuclame banded schists in the Sierras Pampeanas of Crédoba and its relationship with the metamorphic basement of northwestern Argentina", Journal of South America n Earth Sciences 27 (2009) 280-298.
- [23] Sabzehei M., "Les mélange ophiolitiques de la région d'Esfandagheh", These d'état, Université scientifique et médicale de Grenoble, France, (1974) 306 p.
- [24] Bhattacharya A., Mohanty L., Maji A., San S.K., Raith M., "Non-ideal mixing in the phlogopite-annite binary system: Constraint from experimental data on Mg-Fe partitioning and a reformulation of the biotite-garnet geothermometer", Contributions to Mineralogy and Petrology 111 (1992) 87-93.
- [25] Holland T.J.B., Powell R., "An internally consistent thermodynamic dataset with uncertainties and correlation: 2: Data and results", Journal of metamorphic Geology 3 (1985) 343-370.
- [26] Hoisch T.D., "A muscovite-biotite geothermometer", American Mineralogist 74 (1989) 565-572.
- [27] Ghent Mavis z., Stout., "Geobarometry and Geothermometry of plagioclase-biotite-garnet-muscovite assemblages", Contributions to Mineralogy and Petrology 76 (1981) 92-97.
- [28] Ferry J.M., Spear F.S., "Experimental calibration of the partitioning of Fe and Mg between biotite and garnet", Contribution to Mineralogy and Petrology 66 (1978) 113-117.
- [7] Mamtani M.A., Merh S.S., Karanth R.V., Greiling R.O., "Metamorphism and deformation in Proterozoic rocks of the Lunarada region, Southern Aravalli Mountain Belt (India)-amicrostructural study", Journal of Asian Earth Sciences 19 (2001) 195-205.
- [8] Azor A., Ballevre M., "Low pressure metamorphism in the Sierra Albarrana area (Variscan belt, Iberian massif)", Journal of petrology 38 (1997) 35-64.
- [9] Vance D., Holland T.J.B., "A detailed isotopic and petrological study of a single garnet from the Gassetts Schist, Vermont", Contribution to Mineralogy and Petrology 114 (1993) 101-118.
- [10] Yardley B.W.D., "An empirical study of diffusion in garnet", American Mineralogist 62 (1977) 793-800.
- [11] Yardley B.W.D., "An Introduction to Metamorphic Petrology", Longman (1989) 248p.
- [12] Williams M.L., Grambling J.A., "Manganese, ferric iron, and the equilibrium between garnet and biotite", American Mineralogy 75 (1990) 886-908.
- [13] Qian J., Wei C., Zhou X., Zhang Y., "Metamorphic P-T paths and New Zircon U-Pb age data for garnet-mica schist from the Wutai Group, North China Craton", Elsevier, Precambrian Research, 233 (2013) 282-296.
- [14] Deer W. A., Howie R. A., Zussman J., "An Introduction to the Rock Forming Minerals Seventeenth impression (Seventeenth impression)", Longman Scientific Technical (1991) 528p.
- [15] Guidotti C. V., "A comment on chemical study of mineral from the Moine Schists of the Ardnamurchan area, Argyllshire, Scotland by Butler, B. C. M. and its implications for the phengite problem", Journal of Petrology 10 (1963) 164-170.
- [16] Lambert R. St. J., "The mineralogy and metamorphism of the Moine schists of the Morar and Kroyart districts of Inverness-shire", Transactions of the Royal Society of Edinburgh 63 (1959) 553p.
- [17] Dempster T.J., Tanner P.W.G., "The biotite isograd, Central Pyrenees: a deformation-controlled reaction", Journal of Metamorphic Geology 15(1997) 531-584.
- [18] Wang G.F., Banno S., Takeuchi K., "Reactions to define the biotite isograd in the Ryoke metamorphic belt,Kii Peninsula, Japan",